"PREPARAÇÃO E CARACTERIZAÇÃO DE FILMES FINOS DE Cds para aplicações fotovoltaicas"

Paulo Garcia de Souza

Orientador: Prof. Dr. René Brenzikofer

Te apresentada ao Instituto de Física "Gleb Wataghin" da Universidade Estadual de Campinas, como parte dos requisitos necessários a obtenção do título de Mestre em Ciências

- agosto de 1980 *-*

AGRADECIMENTOS

rumos do trabalho.

O Prof. Dr. Ivan Chambouleyron pela discussão e interpretação dos resultados.

A FAPESP, FINEP, CNPq e CESP pelo suporte $f\underline{i}$ nanceiro.

O pessoal da sala: Annette, Lygia, Márcia, João, Neusa pelo apoio constante.

O pessoal do apoio técnico: Ana Carolina, Prof. Siekmann, Gil, Piacenti, Isabel, Paulo Cezar e Airton.

O pessoal da hora final do trabalho: Ana Toma, Loritilde, Waldir e Charles e Cia.

E os amigos de sempre, pelo apoio, estima e cooperação.

INDICE

| CAPÍTULO | 1 | Introdução | 1 |
|-------------------|---|---|---|
| CAP I TULO | 2 | Teoria 0 | 3 |
| | | 2.1 - Absorção 0 | 3 |
| | | 2.1.1 - O Coeficiente de absorção 0 | 7 |
| | | 2.1.2 - Dependência do coeficiente de absorção com hu | 8 |
| • | | 2.2 - Separação das cargas fotogeradas 0 | 9 |
| | | 2.3 - Polarização da junção 1 | 0 |
| | | 2.4 - Heterojunções 1 | 2 |
| | | 2.5 - Circuito equivalente | 3 |
| CAPÍTULO | 3 | Experimental 1 | 6 |
| | | 3.1 - Sulfeto de Cadmio 1 | 6 |
| | | 3.1.1 - Obtenção do CdS em pó e de monocristais1 | 7 |
| | | 3.1.2 - Evaporação 2 | 0 |
| | | 3.1.3 - Vaporização ("spray") 2 | 2 |
| | | 3.2 - O Sulfeto Cuproso 3 | 0 |
| | | 3.2.1 - A tecnica de Clevite 3 | 0 |
| | | 3.2.2 - Caracterização das fases do Cu _x S.3 | 2 |
| | | 3.3 - Os contatos elétricos 3 | 3 |
| | | 3.3.1 - Contato ohmico no CdS 3 | 5 |
| | | 3.3.2 - Cálculo da espessura do filme eletrodepositado | 5 |
| | | 3.3.3 - A grade coletora sobre Cu ₂ S 3 | 6 |
| | | 3.4 - As características optoelétricas da junção | 7 |

| | | 3.4.1 - Resposta espectral e eficiência | |
|----------|---|---|----|
| | | quântica do dispositivo | 38 |
| | | 3.4.2 - A característica V x I | 39 |
| CAPÍTULO | 4 | Conclusão | 42 |
| APÊNDICE | A | Transições eletrônicas próximas a transição fundamental | 46 |
| APÊNDICE | В | Vaporização a técnicag de Jordan | 53 |
| APÊNDICE | С | A evaporadora | 57 |
| APÊNDICE | D | A tecnica de Clevite | 59 |
| APÊNDICE | E | Eletrodeposição de Zinco | 60 |
| APÊNDICE | | Sistema de tratamentos térmicos com atmosfera | 61 |

RESUMO

Neste trabalho é testada a produção de filmes finos de CdS por vaporização de uma solução aquosa contendo os ions Cd^{++} e S^{--} , uma técnica recente e promissora, visando sua aplicação em fotodiodos em junções do tipo $\mathrm{CdS/Cu}_2\mathrm{S}$.

Paralelamente, para fins de comparação, foram crescidos monocristais e filmes finos evaporados de CdS.

Os filmes de CdS produzidos por vaporização, tem coloração alaranjadas e a superfície apresenta uma camada de grãos de ordem demicron e sobre esta grãos maiores, da ordem de 100 µm. Os filmes são policristalinos com estrutura hexagonal e sem orientação preferencial, conforme determinado por difração de RX. Apresentam transição eletrônica direta com banda de energias proibidas de 2.37eV, e formam contato elétrico ohmico com zinco.

Os filmes de Cu $_{\rm X}$ S crescidos nor troca iônica sobre o CdS, tem estrutura Djurlite, 1.96 >x > 1.86, coloração escura e formam contato ohmico com ouro.

A heterojunção formada por ambos apresenta con versão fotovoltaica, envelhecimento quando exposta ao ar e eficiência de conversão baixa.

ABSTRACT

We have tested the production of CdS thin films by vaporization of an aqueous solution containing the ions ${\rm Cd}^{++}$ e S $^{--}$, a recent and promising technic, aiming its utilisation in photovoltaic converters by means of the junction ${\rm CdS/Cu}_2{\rm S}$.

In parallel we have grown single crystals and evaporated thin films of CdS.

The films of CdS produced by vaporization are orange colored and the surface presents a layer of small grains of the order of microns and over it larger grains of the order of 100µm.

The films are policrystaline, with hexagonal structure, and without any preferred orientation, as tested by X Ray diffraction.

They present a direct band gap in 2.37eV and ohmic contact with $^{\rm Z}{\rm n}$.

The cuprous sulfide Cu_X^S grown by ionic exchange on top of the CdS have the Djurlite structure 1.96 > x > 1.86, dark color and make ohmic contact with Au.

The heterojunction formed by both present the photovoltaic conversion, aging when exposed to the air, and low conversion efficiency.

CAPÍTULO 1 - INTRODUÇÃO

Esta monografia apresenta os resultados do estudo realizado visando a obtenção de filmes finos de sulfeto de cadmio para aplicações fotovoltaicas.

O objetivo do estudo foi identificar os passos mais importantes e os pontos críticos do processo de fabricação dos fotodiodos que utilizam a junção (N)CdS/Cu2S(P) e não a fabricação de um dispositivo competitivo como produtor de energia elétrica. Este sim viria como continuação natural do presence estudo que conserva sempre um caráter introdutório das técnicas utilizadas.

O efeito fotovoltaico no CdS foi inicialmente descoberto por Reynolds em 1954 (1), quando estudava o efei to de diferentes metais como contato elétrico sobre o semicondutor, e observou que o cobre produz um efeito Shottky, ou seja, forma um diodo com CdS. Posteriormente se compre endeu que não é o cobre mas sim o composto Cu₂S que se forma sobre o CdS o responsável pela formação da barreira de potencial e do efeito fotovoltaico observado.

Como a radiação solar tem 60% do total na fai xa entre 1.0 e 2.4eV, a junção CdS/Cu₂S, onde o primei ro tem a banda de energias proibidas (gap) com 2.4eV e o segundo em torno de 1.2eV, tornou-se muito estudada visando sua utilização na conversão direta da energia solar.

A partir da década de 1950 com o desenvolvimento da teoria e das propriedades de diversos materiais semicondutores, os princípios fundamentais que lideram o funcio-

namento das células solares foram compreendidos, e já na década de 1970 os grandes esforços para a aplicação prática, como forma de produção de energia elétrica, em grande escala eram: o custo e a eficiência de coleção das células solares.

Em 1975 Jordan (2) propos uma técnica alternativa para a produção de filmes finos policristalinos de CdS. A técnica conhecida como pulverização (spray), consiste na pulverização de uma solução por meio de um gás em uma amostra mantida a certa temperatura, que é simples, barata e apropriada para a produção de filmes em grande escala, e por isso cativou os pesquisadores de várias partes do mundo; nos últimos anos muitos trabalho tem sido dedicado ao seu aprimoramento.

No so estudo abrangeu todos os pontos da fabricação da célula, da construção de equipamentos apropriados ã produção e caracterização dos filmes e a obtenção do ainda fraco, efeito fotovoltaico.

Iniciamos a monografia com a apresentação de elementos da teoria do estado sólido que descrevem a absorção e determinação das características óticas dos materiais, e noções básicas de junções P/N e Heterojunções que facilitem o entendimento do texto.

No segundo capítulo descrevemos o procedimento experimental utilizado, tanto na produção dos filmes e da junção, como na análise de suas características estruturais, óticas e optoelétricas. Nos apêndices apresentamos os detalhes das montagens utilizadas, e algumas sugestões para otimizá-las.

Concluimos apresentando um balanço dos resultados obtidos e sua interpretação, que indica algumas sugestões nossas para a continuação do estudo.

CAPÍTULO 2 TEORIA

Neste capítulo apresentamos idéias básicas e o princípio de funcionamento do dispositivo utilizado para conversão direta da radiação eletromagnética (EM) proveniente do sol, em eletricidade.

Buscamos simultaneamente definir alguns parāmetros úteis no decorrer da monografia.

A primeira característica necessária para a conversão é que o material seja capaz de absorver a radiação so lar e restituí-la sob forma de energia elétrica. Assim além de absorver a radiação e gerar portadores de carga é necessário que se faça com que circulem por um circuito externo a célula.

2.1 - Absorção

O processo físico que corresponde a absorção da radiação E.M é a transição de um elétron no cristal de um certo nível de energia a outro excitado, pela absorção da energia contida na radiação.

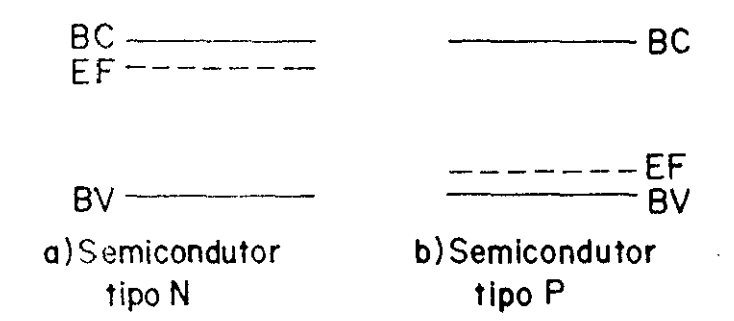


Fig. 1 - Esquema de Bandas de Energia em um Semicondutor

(fig.1) duas bandas de estados de energia bem definidas, a banda de valência (BV) e a de condução (BC) com uma região de energias roibidas (gap) entre elas.

A temperatura de 0°K a função de distribuição de Fermi que regula a ocupação, destes estados de energia pelos elétrons, implica que estejam ocupados todos os estados até o nível de Fermi, e desocupados os da banda de condução. Neste caso o material é isolante elétrico. A medida que a temperatura aumenta a função de Fermi apresenta probabilidade não nula de haver estados ocupados na BC e assim teremos as bandas não completamente cheias e poderá ocorrer a condução elétrica (3,...

A absorção de radiação em um semicondutor se dá sobretudo através da transição fundamental de um elétron do topo da banda de valência a um estado desocupado na B.C., ou seja, ela só ocorrerá caso a energia da radiação (hu) seja maior ou igual ao "gap" de energias proibidas, da ordem de leV, caso esta não seja suficiente a transição não ocorre e o material permitirá sua passagem sem absorver.

Assim já que a maior parte da radiação. EM proveniente do sol está entre l e 3.3eV os semicondutores são a princípio materiais apropriados para absorvêla. Resumindo o comportamento destes face a incidência de luz podemos escrever:

- hu > Egap absorve e gera portadores de carga em condição de conduzir corrente elétrica
- hu < Egap o material é transparente permitindo a passagem da luz.

A transição eletrônica fundamental por sua vez pode ocorrer essencialmente de duas maneiras:

- (A) transição puramente energética, pela absorção de um foton, as transições diretas fig. 2a.
- (B) transição envolvendo também uma variação do momento do elétron, fig. 2b , que involve a absorção de um foton e emissão ou absorção de um fonon.

TRANCIÇÃO DIRETA

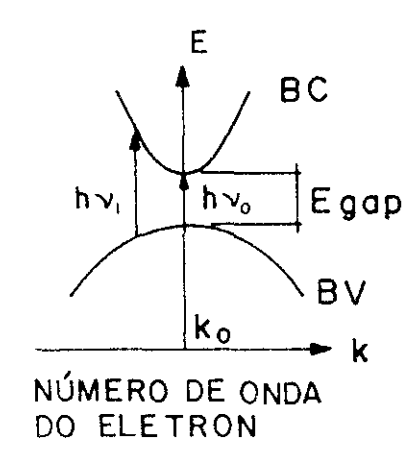


Fig. 2a

TRANSIÇÃO INDIRETA

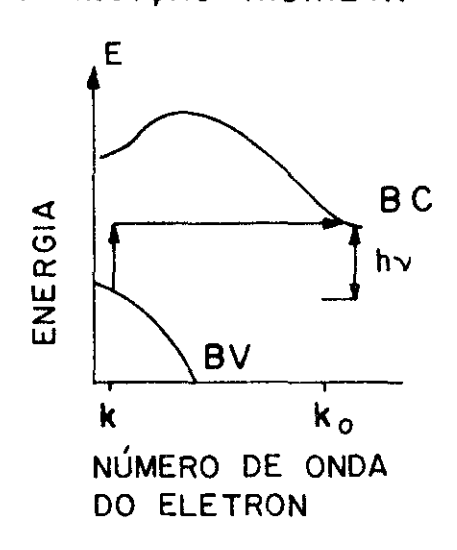


Fig. 2b

Transição Eletrônica Fundamental

Como será mostrado a seguir é possível determinar o "gap" do semicondutor e o tipo da transição fundamental, através da análise do coeficiente de absorção e de sua dependência com a energia hv.

2.1.1 - O Coefeciente de Absorção 🔯 (hu)

A capacidade de um material de absorver a radiação EM de determinada energia ho é descrita por um coeficiente de absorção (α(ho)), geralmente dado em unidades de cm⁻¹.

Se observamos a figura 3, onde "S(hv,z),W/cm² " é a densidade superficial de energia transportada pela radiação,notamos que uma parcela é refletida ao atingir a superficie z=0,e outra penetra no material; desta uma parte será absorvida,haverá nova reflexão na superficie z=t,e o restante será transmitido.

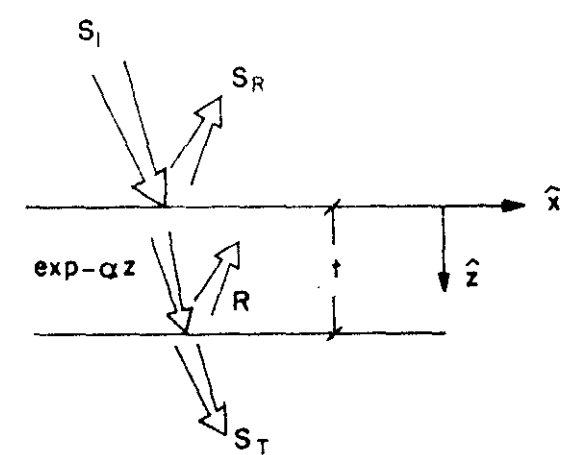


Fig.3 - Comportamento da radiação EM, S, incidente sobre uma amostra de espessura t

Analiticamente pode se escrever:

- (1) S(hu,z=0) = S(hu,0) = S₁(hu)(1-R(hu))
 onde R(hu) e o coeficiente de reflexão do material.
 0 comportamento de S(hu,z) dentro do material pode ser descrito como:
- (2) $S(hv,z+dz) = S(hv,z) \alpha(hv)dz S(hv,z)$ donde vem que:
 - (3) $S(hv,z) = S(hv,0) \exp{-(\alpha(hv)z)}$

\ equação 3 mostra que z=α⁻¹ corresponde a dis / tância para a qual é absorvido l/e da radiação que penetra no material.

Para uma luz "branca" com espectro S₁(hv) incidin do sobre um semicondutor de "gap" Eg e espessura t temos então que a potencia total absorvida por cm² de superfície serã:

- (4) $\Delta S = \int_{L_g}^{\infty} d(hv) \int_{0}^{t} dz S_{1}(hv) (1-R(hv)) (1-exp-a(hv)z)$ e a potência total tranmitida $|S_{m}|$ serã:
 - (5) $S_{\mathbf{T}} = \int_{\mathrm{Eq}}^{\infty} d(h\upsilon) \int_{0}^{\infty} dz S_{1}(h\upsilon) (1-R(h\upsilon))^{2} = \exp(-\alpha(h\upsilon)z)$

caso a incidencia seja perpendicular a superficie do material em primeira aproximação temos ainda:

(6)
$$R(hv) = -\frac{(n-1)^{2}}{(n+1)^{2}}$$

onde n é o indice de refração do material

2.1.2 Dependência do Coeficiente de Absorção $\alpha |hv|$ com hv

O coeficiente de absorção α(hυ) deve exprimir a natureza da transição eletrônica i.e. se é direta, fig 2a, ou indireta, fig2b, além das condições quânticas que determinam a probabilidade de ocorrer a transição de um eletron desde um estado inicial Ei até um estado final Ef, tais que: Ef-Ei = hυ.

o calculo mais detalhado é feito no Apendice A,para o caso de transições proximas da fundamental ou seja h∪≃Eg, e nos conduz aos seguintes resultados:

A dependencia do coeficiente de absorção α(hu) com a energia da radiação incidente, hu, para o caso em que a sime / tria do cristal não proibe a transição com energia correspon / dente ao minimo de separação entre as bandas ē:

- a) Absorção através de transições diretas $\alpha(hv)hv = A(hv-Eg)^{1/2} \eqno(7)$
- b) Absorção através de cransições indiretas $\alpha \, (h \upsilon) \, h \upsilon \, = \, B \, (h \upsilon E g)^{\, 2} \eqno(8)$

Donde se observa que o valor de hu para o qual a(hu)hu = 0 determina o "gap" do semicondutor,e a forma da curva o tipo de transição que ocorre.

Experimentalmente o processo utilisado é: mede se a potência total transmitida para cada comprimento de onda da radiação incidente e determina se a(hu) através da eq.(5)

2.2 - Separação das Cargas Fotogeradas

Afim de aproveitar os portadores de carga fotogerados, elétrons na BC e buracos na BV devemos implantar no material um campo elétrico, de tal forma que conduza o elé através de um circuito externo para seu estado de mais baixa energia livre, i.e. na banda de valência, neste percurso há a reposição da energia absorvida da radiação.

Pederíamos então utilizar uma bateria, como é feito nos fotomêtros em câmaras fotográficas, mas nosso dispositivo deve ser autosuficiente, ou seja, desejamos retirar potência elétrica da célula e não fornece-la.

O dispositivo isento de pilha é conseguido atra vés da junção de dois semicondutores tipo N e tipo P figs.

O ajuste dos níveis de Fermi dos semicondutores, em busca da mais baixa energia livre causa como mostrado esquematicamente no diagrama de energia dos elétrons, fig. (lc), o entortamento das bandas na junção consequente formação de um campo elétrico, que conduz os elétrons em direção do lado N e os buracos em direção ao lado P onde ambos são majoritá rios.

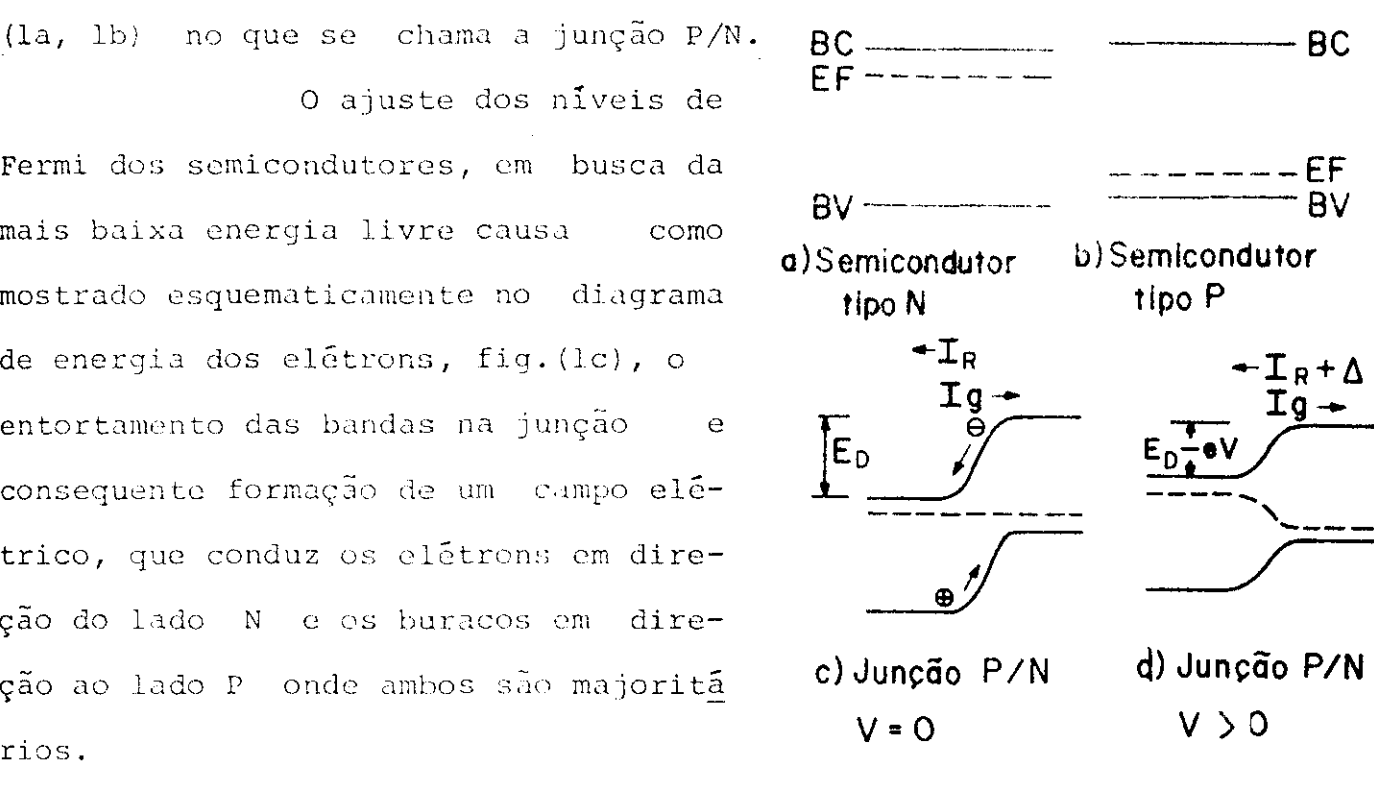


Fig. 1 - Esquema de Bandas de energia e Polarização da Junção

2.3 - Polarização da Junção

Neste parágrafo fazemos aanálise do comportamento da junção P/N caso a ela seja aplicada uma diferença de potencial, isto vai nos levar inicialmente a equação de Schockley para o diodo e a seguir a compreenção de porque é possível retirar potência deste dispositivo quando iluminado.

A figura (1c) mostra dois tipos de correntes competindo, as correntes de recombinação I_R e de geração I_G. A corrente de recombinação é essencialmente dependente da altura da barreira de potencial que os portadores devem vencer para cruzarem a junção, e está ligada a esta através de uma exponencial na forma usual da aproximação de Boltzmann, enquanto a corrente de geração corresponde a pares gerados termicamente que migram sob ação do campo elétrico para o outro lado da junção. Na condição de equilíbrio e no escuro tem se corrente nula através de dispositivo, o que corresponde a:

$$I_{RO} = I_{GO} \tag{9}$$

Tendo em mente que representamos a energia dos elétrons onde E = -eV, sendo V o potencial aplicado, façamos a polarização da junção.

A) Polarização direta-negativo no lado N e positivo no lado P.A fig.(ld) mostra que neste tipo de polarização a altura da barreira de potencial, $E_{\rm d}$, é reduzida de eV, isto produz um aumento de $I_{\rm R}$ como: $I_{\rm R}({\rm V}) = I_{\rm RO}$ exp ((eV)/kT) (10) como a temperatura é mantida constante $I_{\rm G}$ não se altera, assim a corrente total que passa na junção, $I = I_{\rm R} - I_{\rm G}$, é dada por:

$$I(V) = I_{GO}(\exp(eV/kT) - 1)$$
 (11)

Esta é a equação de Schokley, ref.4 para o diodo.

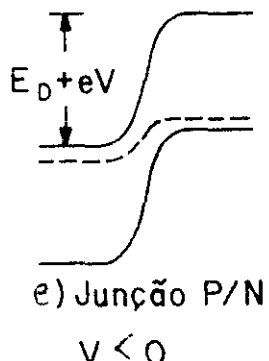
No caso real é incluido um fator (A) no denominador da exponencial, que indica a qualidade do diodo e enfim leva em conta to-

dos mecanismos de recombinação que podem fazer a eq(ll) não estrimente válida, assim no caso geral temos:

(12)
$$I(V) = I_{GO} (exp(eV/\Lambda kT) - 1)$$

B) Polarisação inversa.

A analise do comportamento da junção caso o potencial aplicado tenha pola ridade inversa ao caso A) levará a -



través de raciocinio análogo a eq(12) Fig. le - Polarização da Junção a unica diferença entre os dois casos reside no fato que a barreira de potencial aumenta, fig(le), e assim a corrente \mathbf{I}_{R} diminui.

É interessante nos perguntarmos porque se diz que é possivel retirar potência elétrica deste dispositivo.

No caso do paragrafo anterior,a aplicação de uma diferença de potencial no escuro, obtemos uma corrente $I = I_R - I_G \ \text{fluindo do potencial positivo (P) para o negativo (N), assim sendo a potência foi cedida a célula.}$

$$(13) P = VI > 0$$

Suponha se agora a situação inversa, ilumina se a celula sem potencial algum aplicado, afim de haver geração de pares tome se h o>Eg

-I R+A -I 9+ ZA - hv

f)Juncao P/N c/iluminação

A disposição do esquema de bandas de energia dos elétrons é mostra-

Fig. 1f

da na figura (lf), onde podemos observar que a corrente \mathbf{I}_{G} au mentará de Δ ig devido a geração de pares eletron buraço na junção a mais que Ir cujo aumento é análogo ao caso A, figld.

Neste caso a corrente total $I = I_R^- I_G^-$ torna se negativa, i.e. fluindo de N para P, e será tanto maior quanto mais iluminada for a célula. Utilizando a equação (13) vemos

que a potência e negativa, ou seja a célula fornece potência elétrica. Neste caso V corresponde a diferença entre
os níveis de Fermi

$$V = + (E_{FP} - E_{FN}) e$$

2.4 - Heterojunções

Até o momento não havia sido feita qualquer con sideração sobre o "gap" dos semicondutores na junção P/N. Assim sendo, como em nosso caso eles são diferentes, 2.4eV para o CdS e 1.2eV para o Cu $_2$ S. É interessante mostrar os modelos utilizados para descrever o entortamento das bandas no caso da heterojunção em que o semicondutor tipo N tem o "gap" maior que o semicondutor do tipo P, $E_{qN} > E_{qP}$

A figura (4a) mostra

esquematicamente as bandas de semicondutor do tipo N, onde χ - ē a afinidade eletrônica ca δ - representa o nível de do pagem do semicondutor, δ é tanto menor quanto mais dopado for o material φ = χ : δ ē a fração traba-

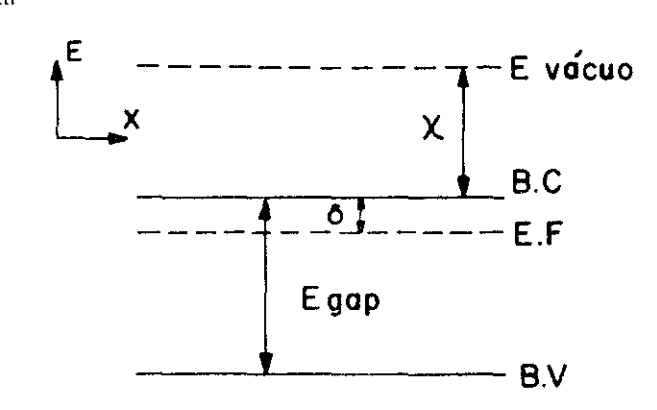


Fig. 4a - Níveis de Energia em Semicondutor Tipo N

lho do material

As figuras (4b, 4c, 4d, 4e) mostram os quatro possíveis esquemas de bandas de energia dos elétrons da hete rojunção onde E_{gN}^{-1} E_{gP}^{-1} todos a princípio são possíveis de ocorrer em junções do tipo estudado, no entanto, devido a

dificuldade de se determinar (χ) com precisão hã discordância entre o modelo utilizado para explicar situações experimentais.

Bube et al ref. (5) utilizam o modelo das figuras (4d, 4e) enquanto Eordure et al, ref. 6, utilizam modelos conforme as figuras (4b, 4c).

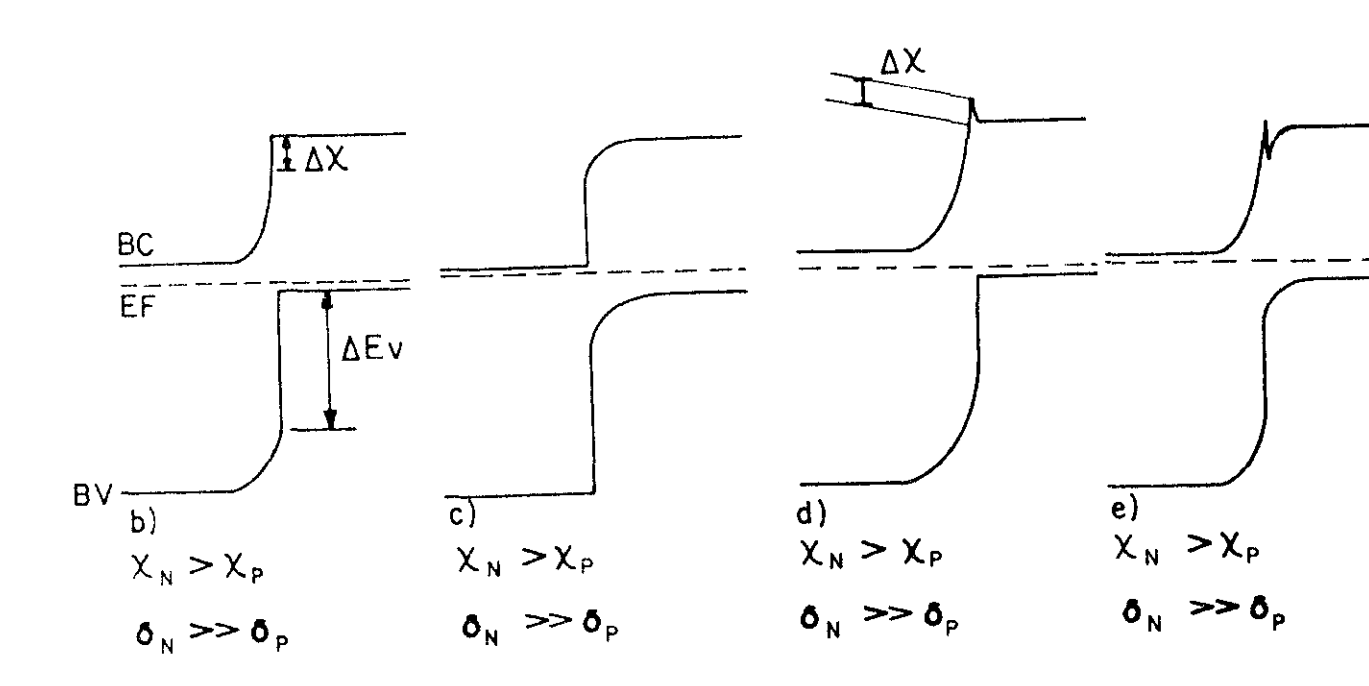
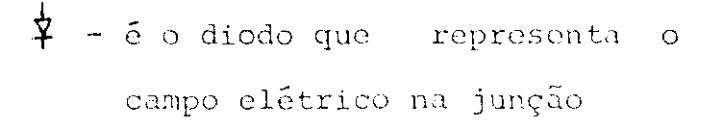


Fig. 4 - Modelos Utilizados para o Esquema de Bandas de Energia dos Elétrons Próximos a Interface da Heterojunção em que E $_{\rm g}$ N > E $_{\rm g}$ P

2.5 - O Circuito Equivalente

O circuito equivalente de uma célula solar em operação é mostrado na fig (5), onde:

I_S - é uma fonte de corrente ideal que simboliza a corrente fotogerada



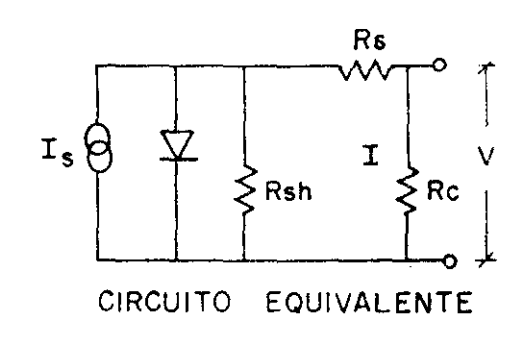


Fig. 5 - Circuito Equivale<u>n</u> te da Célula Solar

- R_S é uma resistencia em série que Fig. 5

 exprime a resistência intrínsi

 ca do dispositivo a passagem de corrente.
- R_{Sh} é uma resistência em paralelo com a junção que representa as correntes de recombinação que fluem no sentido de P para N através da junção.
- R_c a resistência de carga, é onde se retira potência da célula e colocam-se os medidores quando da obtenção das curvas características do fotodiodo.

A resolução deste circuito nos dá para a corrente que passa na resistência de carga I.

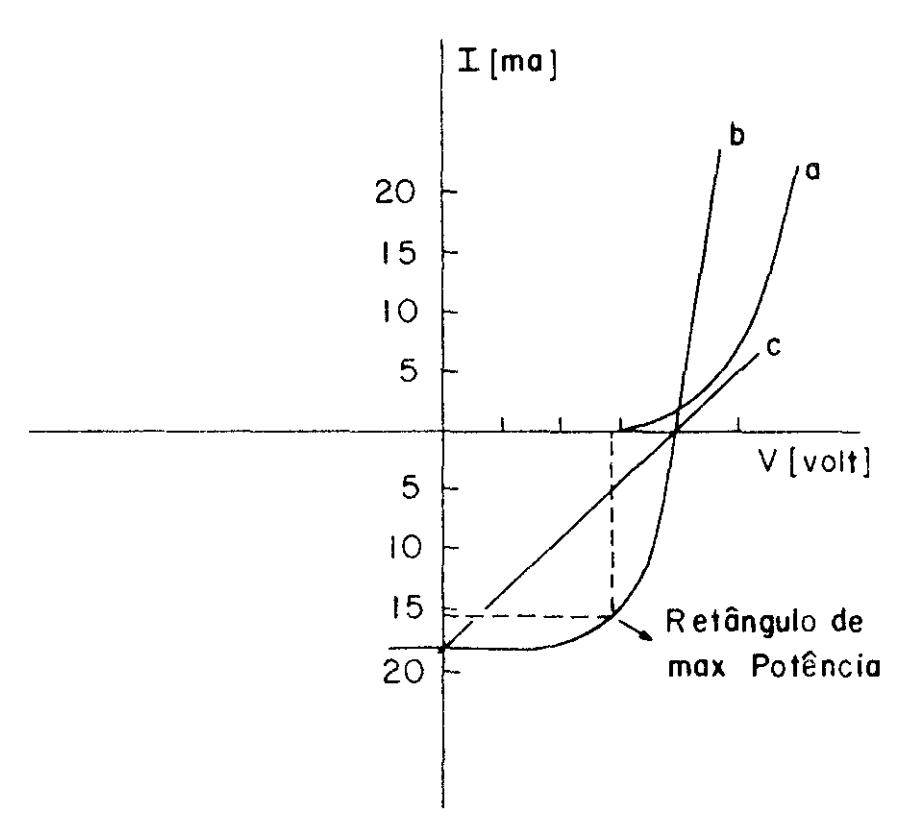
$$I = I_S - I_O | \exp | e(V - IR_S) / AkT | - 1 | - (V - IR_S) / R_{Sh}$$
 (14)

Esta equação é insolúvel analiticamente, mas pode-se mostrar ref.(7), que caso a $R_{\rm S}$ seja baixa e $R_{\rm Sh}$ seja alta a privadas nos pontos de contato com os eixos coordenados nos dão as resistências $R_{\rm S}$ e $R_{\rm Sh}$.

Quando a resistência R_S é muito alta é possível expandir a exponencial na eq. (14) e obtem-se

$$I = I_S - \beta V, \qquad \beta = cto$$
 (15)

A figura 6, abaixo, mostra o gráfico I x V cor respondente a equação 14, no escuro e sob iluminação, bem como o limite (equação 15) em que $R_{\rm S}$ é muito alta.



. Fig. 6 - Curva Característica VxI tipica da Junção CuxS/CdS a) no escuro b) sob iluminação

c)limite em que Rs muito alta

CAPÍTULO 3 - EXPERIMENTAL

Neste capítulo abordamos as técnicas experimen tais utilizadas para a construção do fotodiodo, iniciamos com o sulfeto de Cadmio, a seguir apresentamos um parágrafo sobre o sulfeto cuproso onde são discutidas também algumas propriedades dependentes da sua estequiometria; descrevemos então os contatos ohmicos e, concluimos o capítulo apresentando as medidas optoelétricas feitas com o dispositivo completo.

No decorrer da discussão procuramos apresentar também os resultados experimentais relevantes na caracterização das propriedades dos filmes depositados.

3.1 - Solfeto de Cadmio

Várias são as técnicas conhecidas e utilizadas para o crescimento de monocristais e filmes policristalinos de CdS, vários também são os artigos de "review" publicados que dão as referências das técnicas utilizadas, a tabela abaixo apresenta algumas das mais usuais técnicas de obtenção de filmes finos policristalinos de CdS.

Tabela 1 (*)

- Deposição por vapor
- Evaporação com substrato frio
- Evaporação com substrato aquecido
- Evaporação com as paredes aquecidas (Ref.8)
- "sputtering" em atmosfera de Argônio
- "Sputtering" em atmosfera de H₂S/Ar
- "spray" i.e. depesição por pulverização

- Sinterização do pó
- (*) As referências dos processos abaixo podem ser encontradas em M. Savelli, J. Bougnot (Ref.9)

Neste trabalho o Sulfeto de Cadmio é obtido <u>a</u> través de três técnicas diversas, e com resultados também dife rentes: o monocristal, o filme policristalino e o amorfo.

3.1.1 - Obcenção do CdS em pó e crescimento de monocristais

Esta seção é dividida em duas etapas: a primeira relativa a sintetização do CdS em forma de pó e a segunda em que relatamos o procedimento utilizado para o crescimento do monocristal. A figura 7 abaixo ilustra a sequência dos passos tomados.

OBTENÇÃO DO COS E CRESCIMENTO DO MONOCRISTAL

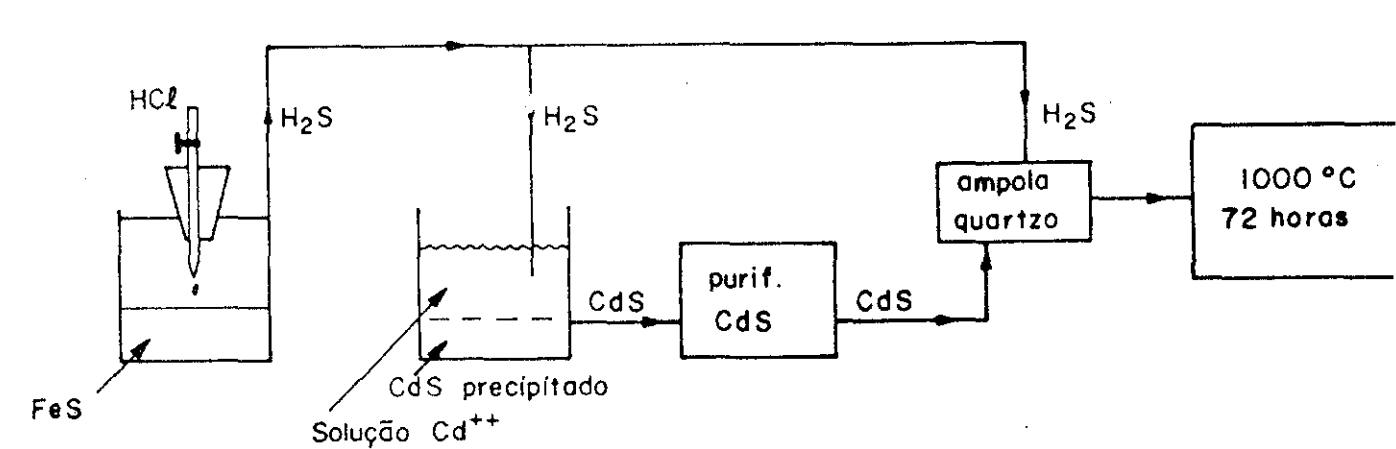


Fig. 7

Ainda que o objetivo deste trabalho tenha sido o estudo das técnicas envolvidas na preparação da célula solar de CdS em forma de filme fino policristalino, esta parte de obtenção do CdS em forma de po e crescimento do monocristal, foi

importante por nos proporcionar melhor entendimento das propriedades do material na hora de produzir os fi $\underline{1}$ mes policristalinos.

Obtenção do CdS

A técnica de obtenção do CdS por precipitação foi realizada nos laboratórios de alunos de I.Q. da UNICAMP. Como pode ser observado (fig.7) ela consiste em borbulhar o H₂S em uma solução aquosa contendo ions Cd⁺⁺, resultando assim o CdS precipitado.

O H_2S é obtido na usual montagem de "KIPP" onde se goteja HCl sobre FeS, a reação 2 HCl + FeS \rightarrow Fe $\text{Cl}_2 + \text{H}_2\text{S}$ 2 HCl + FeS \rightarrow Fe Cl_2 + H_2S (16)

se processa sendo liberado o gás, para purificação fazemo-lo pas sar por água a fim de retirar particulas em suspensão.

Cabe ressaltar que como o gás é extremamente tó xico todo o processo deve ser feito em ambiente protegido.

A solução portadora dos ions Cd⁺⁺ deve se aquo sa já que o produto final, CdS, é insolúvel em água, no entanto o reagente inicial pode ser tanto CdCl₂, CdBr₂, CdSO₄ ou Cd(NO₃)₂, em nosso caso utilizamos o último devido a maior solubilidade em água e consequentemente maior pureza do produto final. A reação ocorre a temperatura ambiente e o compromisso da molaridade da solução inicial está com a pureza e tamanho do grão do precipitado.

O CdS obtido a partir de solução de Cd(NO₃)₂ apresenta estrutura cúbica, zinc blend, (Ref.10), enquanto a partir de soluções de halogenias a estrutura é hexagonal, Wurtzite, é possível no entanto crescer monocristais da estrutura hexago-

nal a partir do pó de estrutura cúbica, uma vez que ocorre a mudança de fase com cozimento em atmosfera de enxofre a temperatura entre 600° C e 700° C (Ref.11).

Crescimento do Monocristal

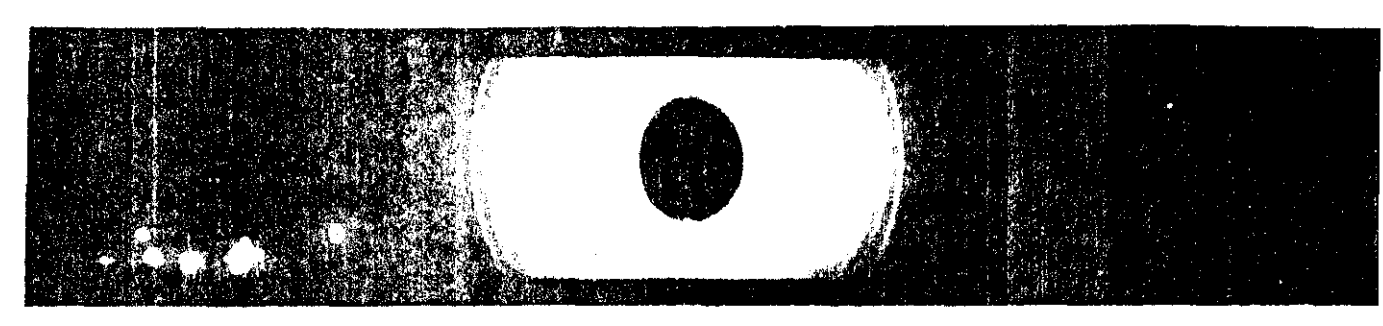
Para a obtenção do CdS monocristalino utilizamos a técnica descrita por Czyżak et al (Ref.12) e posterior
mente aperfeiçoada por J. Greene et al (Ref.13).

O método consiste no cozimento por 72 horas, em presença de H₂S do pó de CdS, em uma ampola selada, para utilizá-lo, foi montado um sistema de tratamento térmico, Apêndice F, e usamos 10 gramas de CdS e 1/4 de atmosfera de H₂S a tempe ratura ambiente.

O resultado foram vários monocristais de di mensões até 3,0 mm x 2,0 mm x 1,5 mm, de estrutura hexagonal, Greenockite, como mostra o espectro de difração do pó, na fig.8.

A análise mais detalhada do processo físico-químico envolvido neste tipo de crescimento pode ser encontrada em: (Ref.14).

(fig. 8) Difração do po, CdS monocristalino



Estrutura Hexagonal (Greenockite)

As linhas a partir do centro correspodem aos planos

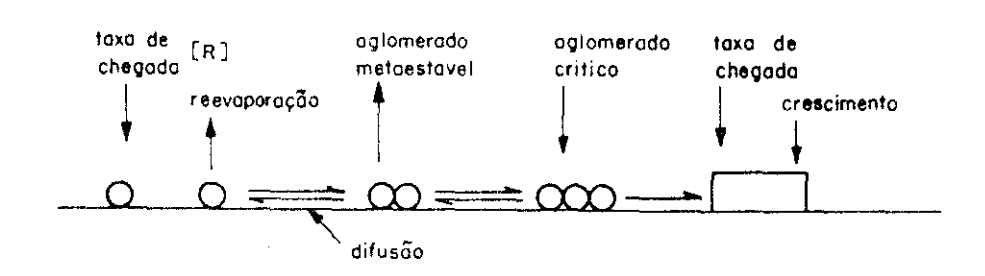
| 1) | 100 |
|----|-----|
| 2) | 002 |
| 3) | 101 |
| 4) | 102 |
| 5) | 110 |
| 6) | 103 |
| 8) | 112 |

3.1.2 - Evaporação

O processo físico que ocorre durante a evaporação de um material por aquescimento a vácuo é o aumento da pressão de vapor deste material quando aquecido, e o vapor que se expando dentro da campândula condensa sobre o substrato frio.

Muitas vezes na evaporação de compostos se utilizam gases que reagem com o material evaporado, e a nucleação
do composto se dá no próprio substrato, as condições nestes pro
cessos são bastantes rigorosas e não foram objeto deste estu
do para o leitor interessado podemos sugerir (Ref.15).

O processo de nucleação e crescimento dos filmes evaporados se dá basicamente pela formação de aglomerados e posterior crescimento como mostra na (fig.9).



Via.01 Processo de nucleação de filmes evaporados

A análise do processo de crescimento forma um tópico interessante, sobretudo porque será útil na compreenção do crescimento de filmes depositados por outras técnicas, assim fazemos a seguir um breve comentário.

Definindo: R - taxa de chegada (átomos/cm2. seg.)

No - nº de centros de absorção (cm⁻²)

D + Coef. de difusão na superfície do substrato $(cr^2/seq.)$

Es - energia de adsorção dos átomos na superfície do substrato (eV)

Ef - energia de adsorção de átomos no filme (eV)

Temos três situações possíveis (Ref.15), mostradas na (fiq.10)

 a^{1} R $> No^{2}$ D, que produz grãos pequenos e estrutura <u>a</u> atômica irregular.

- b) R << No 2 D e Es > Ef, onde se obtem nucleação horizontal.
- c) R << No 2 D e Es < Ef, onde se obtem o crescimento tridimensional.

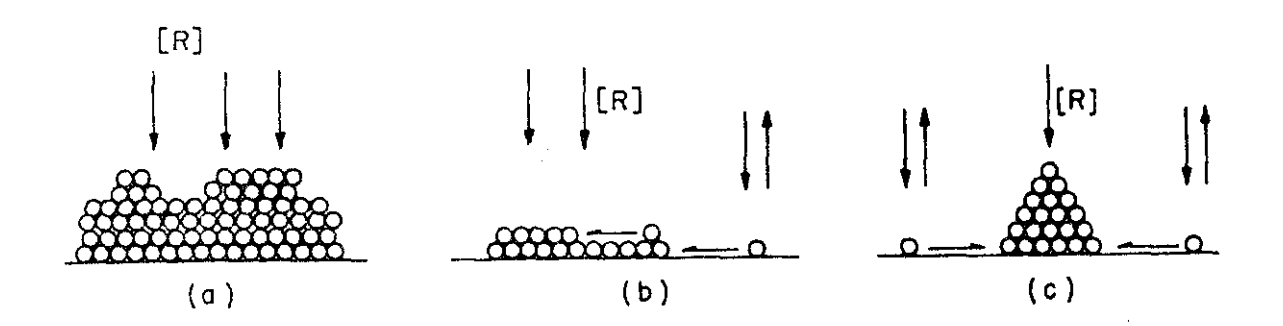


Fig. 10 - Processos de Crescimento de Filmes Evaporados

Com relação as tentativas de produção de filmes policristalinos de CdS apresentados na literatura pode se observar a importância da temperatura do substrato. As moléculas de CdS no processo de evaporação se dissociam e devem recombinar no substrato, se a temperatura deste for em torno de 150°C a preseño de vapor do enxefre é um pouco maior que a do cadmio, e são obtidas camadas com excesso de cadmio, enquanto que a 200°C au menta a probabilidade de reevaporação do cadmio antes de recom-

binar-se com o enxofre. Os melhores resultados tem sido obti dos na faixa 180°C a 200°C (Ref.9). O dopante nestes processos tem sido introduzidos junto com a fonte CdS. O Indio é o mais comum no caso de células solares, ainda que polua o sistema de vácuo devido as altas pressões de vapor.

Nossas experiências com evaporação de CdS foram realizadas em uma evaporada de filamento, construida por nos, que descrevemos em detalhes no Apêndice C.

Nestas experiências utilizamos vácuo da ordem de 2 x 10⁻⁴ torr e o substrato, lâmina de microscópio não foi sub metido a qualquer aquecimento durante o depósito. O filme evaporado a partir de monocristais, comerciais e crecidos por nós, sem qualquer dopante foi submetido a uma série de testes.

- A análise de sua condição estrutural por difração de RX foi feita pelo método de retroreflexão de Laue, e mostrou que os filmes são amorfos.
- Os espectros de transmissão ótica indicam a presença do "gap" em torno de 2.4 ev conforme esperado, a figura 13 mostra a comparação do espectro de transmissão dos filmes evaporados e produzidos por outras técnicas.
- Foi também testada a fotocondutividade dos fil mes, com contatos elétricos, de zinco evaporado, espassados de 0,5 mm e nenhum sinal foi observado, provavelmente devido ao caráter amorfo e consequente baixo caminho livre médio, da ordem de 0,2 mm, Ref. 16.

3.1.3 - Vaporização ("spray")

A técnica conhecida como deposição por spray , no caso do CdS foi proposta por J.F. Jordan, Ref.2, em 1975,

e desde então tem sido largamento utilizada, por seu baixo cus to, características industrializáveis e compatibilidade com a produção de filmes de CdS de características próprias para a plicação fotovoltaica. Acreditamos que a técnica por seus princípios poue ser utilizada para a deposição de quaisquer semicondutor que se preste ao crescimento por fase epitaxial liquida.

Para a obtenção de filmes policristalinos de CdS se vaporiza sobre um substrato aquecido uma solução contendo os ions do composto. E a reação abaixo se processa a temperaturas acima de 250°C (Ref.9)

$$Cd^{++} + S^{--} \stackrel{\Delta}{\rightarrow} CdS + gases^{\dagger}$$
 (17)

A dimâmica do crescimento dos filmes depositados por "spray" é dependente de uma série de fatores ligados as características da solução do substrato e da montagem utilizada.

A fim de facilitar o entendimento do processo listamos abaixo, tabela 2, alguns destes fatores, e a seguir comentamos sua influência no aspecto final do filme.

Tabela 2 (Ref.17)

- l) Molaridade da solução
- 2) Viscosidade da solução
- 3) Tensão superficial das goticulas
- 4) Diâmetro das goticulas
- 5) Velocidade das gotículas ao atingir substrato
- 6) Fluxo de líquido por cm^2
- 7) Temperatura do substrato
- 8) Características superficiais do substrato
- 9) Condutividade térmica do substrato
- 10) Condições do tratamento térmico posterior

As características 6, 7 e 8, ou seja o fluxo de líquido e as condições da superfície do substrato influem na dinâmica do cressimento de maneira análoga a apresentada para filmes evaporados § 3.1.2 (fig.10).

Quanto as características da gotícula de solução, quando os dois processos ficam claramente diferenciados, pu demos observar que:

- Um gota relativamente muito pequena favorece a reevaporação do filme antes do mecanismo de formação dos grãos, ou mesmo evaporação da gota antes de atingir o substrato, assim o filme demora a crescer o que por sua vez favorece a evaporação do contato inferior de zinco.
- Uma gota relativamente muito grande não possui tensão superficial suficiente para suportar o impacto com o substrato, e tende a respingar, e ao evaporar deixa muitos grãos pequenos e desconectados, ou manchas na superfície, o que contribui para a formação de filmes descontínuos, hinomogeneos e de baixa aderência.
- Uma gota pequena tem tensão superficial suficiente para suportar o impacto, e deverá se dislocar sobre o substrato de maneira coerente com as propriedades da superfície, favorecendo assim a coalescência e a formação de um filme rígido, homogêneo e policristalino.

Assim sendo as características do bico de spray e do fluxo de líquido utilizado tornaram-se determinantes no aspecto final do filme.

Quanto as características do substrato, cabe comentar que a condutividade térmica deste determina sua capaci

dade de manter a temperatura estável na superfície, apesar do fluxo contínuo de solução e da reação endotérmica que ocorre para a formação do CdS.

A temperatura exata da superfície da amostra du rante o depósito, é uma característica difícil de ser medida, de vido a uma série de fatores, notadamente a pressão de contato do termopar com a amostra, e possíveis turbulências próximo da superfície.

Os detalhes do bico de spray e da montagem utilizada são mostrados no Apêndice B. A solução portadora dos ions Cd^{++} e S^{--} é uma mistura estequiométrica de $\mathrm{Cd}(\mathrm{No_3})_2$ 0,2M com $\mathrm{SC}(\mathrm{NH_2})_2$ 0,2M, o substrato de cobre com uma camada de zinco eletrodepositado ou lâmina de microscópio, para medidas de transmissão, é mantido a temperatura em torno de 300°C.

A caracterização estrutural por difração de RX mostra que os filmes são policristalinos sem direção preferencial de crescimento (fig.ll) e os microcristais obedecem a estrutura hexagonal Greenockite (fig.l2).



(fig.12) Difração do pó do CdS policristalino

| Linhas a partir do centro | Plano | |
|---------------------------|-------|--|
| 1) | 100 | |
| 2) | 002 | |
| 3) | 101 | |
| 4) | 102 | |
| 5) | 110 | |
| 6) | 1.03 | |
| 8) | 112 | |

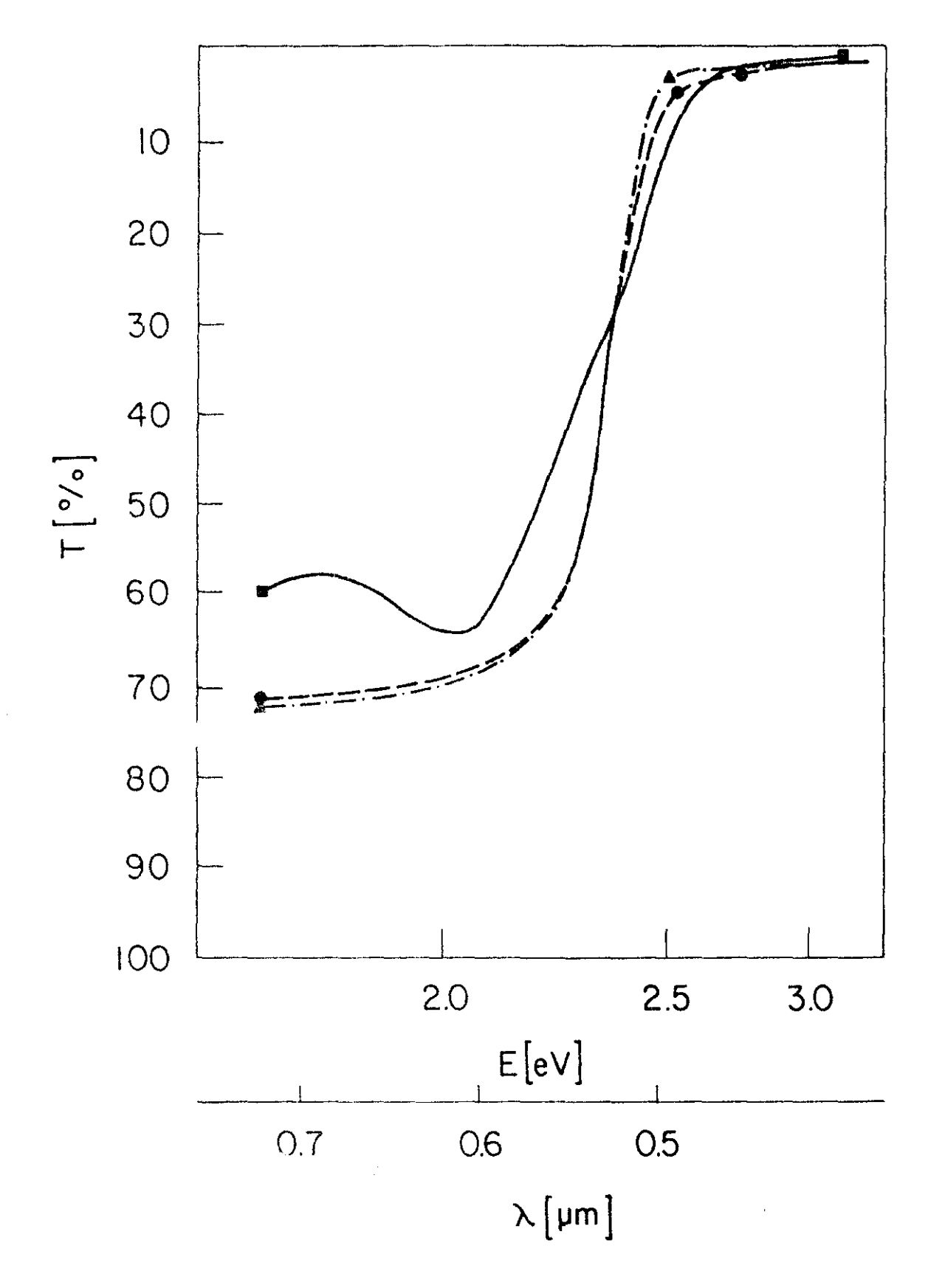
Fig. 11 - Fotografia Laue do Filme de CdS feito por Vaporização

Pode-se observar ainda, no microscópio ótico, que a superfície do filme apresenta uma camada densa de pe quenos grãos da ordem de alguns microns, e sobre esta alguns grãos maiores, de até 100µm. Tem sido sugerido que a forma ção destes dentritos se deve a carência de enxofre, Ref.18, no composto, provavelmente associada a uma situação como a mostra da na figura 10.

A característica 10, que corresponde ao tratamento térmico após o depósito é a mais largamente estudada <u>a</u> tualmente e acredita-se que melhora as propriedades elétricas dos filmes, sobretudo a resistividade e a mobilidade dos portadores de carga, vários pesquisadores tem sugerido o cozimento a temperaturas variando de 400°C a 550°C, em diferentes atmosferas, ref. 19, 20 e 21.

Para as camadas depositadas sobre cobre zincado observamos que com o cozimento em ar a temperaturas em torno de 500°C o filme descola, enquanto caso o substrato seja alumínio zincado tal não ocorre, por outro lado a aderência do zinco com o alumínio na eletrodeposição é mais fraca que com o cobre. Assim optamos pelo cozimento em ar a 420°C, temperatura próxima ao ponto de fusão do Zn e dentro da faixa de estrutura "zinc blend" da liga Cu/Zn, o tempo de cozimento foi mantido em 2 1/2 horas.

Ainda assim não foi obtida a desejada melhora da resistividade dos filmes, o que dificultou as medidas pela técnica de 4 pontos, Ref.22.



(fig.13) Transmissão Ótica Espectral para Filmes Finos CdS produzidos por"spray" e evaporados

■ Evaporado •A Por "Spray" Visando determinar o gap Ótico do CdS produzido por "spray", utilizando as noções desenvolvidas no parágrafo 2.1. desta monografia, foram feitas algumas medidas das características óticas dos filmes.

Inicialmente foi medido o ângulo de Brewster, e apesar de não serem especulares os filmes produzidos por "spray" obtivemos o indice de refração (n) igual a 2.08 ± 0.1 , bas tante próximo ao do CdS monocristalino n=2.24.

A seguir medimos o espectro de transmissão no visível, em um espectrômetro Zeis de feixe único e perpendicular as amostras, que previamente calibrado nos permite um erro menor que 1%.

A figura 13 mostra a comparação dos espectros das produzidas por evaporação e por spray, onde se observa que a princípio os filmes têm características óticas bem próximo do esperado, a confirmação desta hipótese vem ao calcularmos o "gap" Ótico dos filmes produzidos por spray, quando observamos tratar-se de uma transição direta com banda proibida de energias de 2.37ev. A figura 14 mostra o comportamento linear da curva $(\alpha \times E)^2 \times E$, característico deste tipo de transição, conforme jã mostrado no Apêndice A e na equação (7).

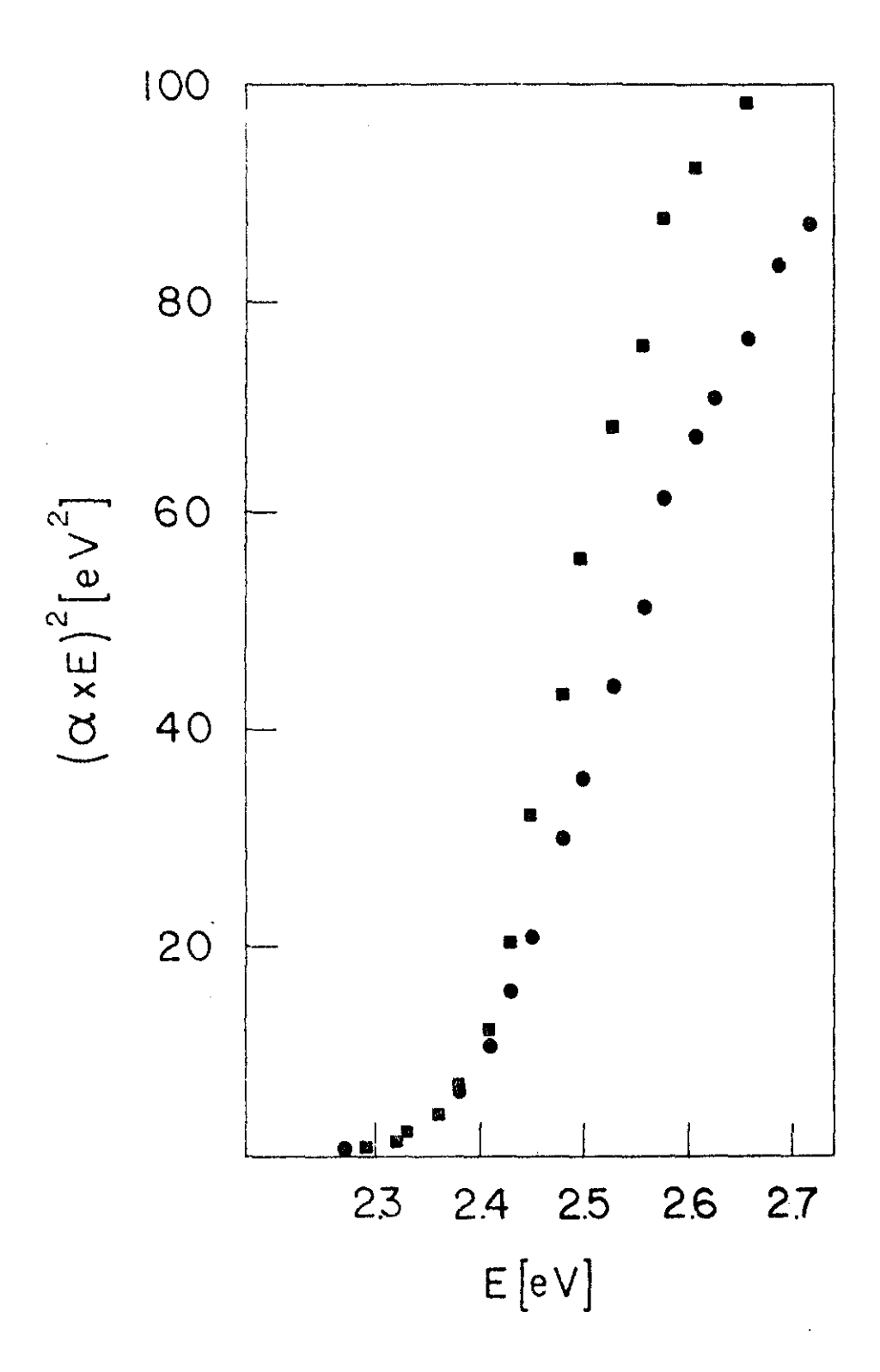


Fig. 14 - Determinação da Transição Eletrônica Fundamental e da Banda de Energias Proibidas de CdS Produzídos por Vaporização

3.2 - O Sulfeto Cuproso, Cu₂S

Diferente do CdS o Cu_2S é um semicondutor do tipo P de difícil produção e para o qual existem menos técnicas de crescimento conhecidas:

1 - A técnica de obtenção do pó que utilizamos 'para sintetisar o CdS, descrita no parágrafo 3.11 nos permite obter apenas o CuS, e o Cu₂S deve ser obtido a partir des te por sulfurização ou seja tratamento térmico em atmosfera de enxofre, ref 23.

As outras técnicas conhecidas são:

2 - Técnica de Clevite, onde o ${\rm Cu_2S}$ é obtido por troca iônica dos ions 2 ${\rm Cu}^+$ por ${\rm Cd}^{++}$ ao mergular o CdS em uma solução contendo os ions ${\rm Cu}^+$.

3 - Técnica de Philips, ref. 24.

4 - Sulfurização do Cobre, ref. 25.

5 - Sulfurização do cloreto cuproso, CuCl, ref. 25.

3.2.1 - A Técnica de Clevite - Ou de crescimento topota - xial por troca ionica, conhecida na literatura como "dipping", consiste na obtenção do $\mathrm{Cu}_2\mathrm{S}$ através da imersão do CdS em uma solução contendo ions Cu^+ , onde ocorre devido ao pH ácido e a temperatura a reação abaixo

(18) CdS + 2Cu X
$$\xrightarrow{\Lambda}$$
 Cu₂S + CdX₂ onde X é Cl, Br ou I

Esta técnica é a mais utilisada na produção de células solares do tipo CdS/Cu₂S, uma vez que o seu domínio per mite em uma só operação obter o semicondutor do tipo P e for-

mar a junção, tendo em vista este tipo de aplicação varias são as tentativas de melhoria da solução utilizada a fim de otimisar a homogeneidade bem como as características geométricas e elétricas da junção, ref. 9.

Para fazer a experiência, montamos o equipamento descrito no apêndice D, onde a função do agitador magnético
é melhorar a homogenidade do ataque químico, e do borbulhamento de Argonio impedir a formação do óxido de cobre.

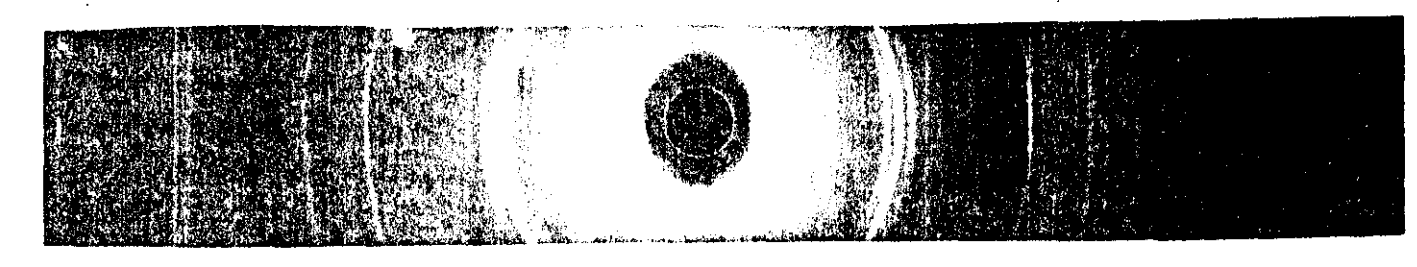
Foram testadas soluções cupricas e cuprosas, ${\rm CuCl}_2 \ {\rm e} \ {\rm CuCl} \ {\rm respectivamente}, \ {\rm ambas} \ {\rm com} \ 0, {\rm lM, \ e} \ {\rm mantidas} \ {\rm a} \ {\rm tem}$ peratura de $90^{\rm O}{\rm C}$.

Afim de caracterizar a estequiometria do composto obtido, as amostras foram submetidas a medidas de difração de RX onde pudemos constatar que no caso da solução cuprica o corre a formação do CuS, fig.(15), enquanto a solução cuprosa favorece a estrutura Djurlite Cu_XS onde 1,96 > X > 1,86, figura (16), poqe-se mostrar, ref.26, que a estequiemetria ideal para aplicações fotovoltaicas corresponde a X = 1,995, e optamos pela selução cuprosa no decorrer do trabalho.

DIFRAÇÃO DE RAIO \times Cu $_{\mathbf{x}}$ S PRODUZIDO POR "DIPPING"



Fig. 15 - Em Solução de CuCl₂, Obtido CuS



-Fig. 16 - Em Solução de CuCl, obtido Cu_xS 1.96 > x > 1.86

Outra característica que pudemos observar do processo de "dipping" é a influência do pH da solução, caso este 'seja muito parxo, em torno de 3, a corrosão entre grãos é bas tante rápida o que provoca a deterioração da junção pela pene tração do Cu_xS até o contato inferior de zinco, e consequente 'formação de curto circuitos, assim optamos a partir dos resultados obtidos por Vedel et al, ref.20, pelo pH 6,0 com o qual utilizamos o tempo de imersão de 20 a 30 segundos e a temperatura da solução de 90°C.

3.2.2 - Caracterização das fases do $Cu_{\mathbf{x}}S$

Algumas técnicas tem se mostrado úteis para a caracterização das fases do Cu_xS e muito estudo tem sido feito — tanto das características elétricas como óticas do composto. Cabe aqui ressaltar que apesar de ser possível produzir um laboratório o Cu_xS com todas as estequiometrias estáveis a temperatura ambiente, notadamente através das técnicas le 4,este apresentará problemas para ser evaporado, devido a diferença de pressão de vapor do Cu e do S, e consequente alteração de estequio metria no processo.

Os mais utilizados métodos de caracterização do Cu.S são baseados em técnicas:

- Eletroquímicas ref.20
- Difração de RX
- Catadoluminos cência ref.25

3.2.3 - Propriedades óticas e elétricas do Cu_xS

Como já foi dito o ${\rm Cu}_2{\rm S}$ é um semicondutor do tipo P, onde a condução — se dá por vacâncias de Cobre, assim

a resistividade varia com a estequiometria do composto. Para a faixa de composição do Cu_X^S que utilizamos 1.96 > X > 1.86 a resistividade é da ordem de 7×10^{-3} ohm.cm, ref.9.

Se aplicames este valor a uma camada homogenea de espessura 0,1 μ m e largura 5 μ m (tamanho do grão) e com primento 50 μ m (distância entre os eletrodos) através da equação 19 obtemos a resistência de 7 $k\Omega$, excessiva para uma célula solar eficiente.

(19)
$$R = \frac{Rd}{A} = \frac{7 \times 10^{-3} \times 5 \times 10^{-3}}{10^{-5} \times 5 \times 10^{-4}} = 7 \times 10^{3} \Omega$$

Apesar da grande disparidade nos valores encontrados na literatura para o "gap" ótico do $\mathrm{Cu_2S}$, geralmente medido de maneira analoga a que utilisamos para determinar o do CdS , § 1.1, é consenso que este tem uma transição em 1.2 eV e outra entre 1.7 e 2.5 eV. Na junção $\mathrm{CdS/Cu_xS}$ a maior parte dos portadores são gerados no $\mathrm{Cu_xS}$, e nota-se um aumento acentuado da fotocorrente para X maior que 1.95; ref. 9.

3.3 - Os contatos elétricos

As cargas fotogeradas em um semicondutor são coletadas através de contatos metálicos sobre o dispositivo.

O contato elétrico será ideal caso não introduza resistência a passagem de corrente, não forme uma barreira de potencial na interface com o semicondutor e não reaja quimicamente. Além disto o contato na parte iluminada da célula deve ser otimisado afim de permitir a passagem de luz e permitir a coleção eficiente dos portadores.

Neste parágrafo apresentamos algumas sugestões para a escolha do metal de contato, e a seguir passamos a descrição das técnicas utilizadas por nós afim de obter contatos ohmicos.

Supondo-se um semicondutor de função trabalho ϕ_s , vide figura (4a) e um metal de função trabalho ϕ_m , podese mostrar, ref.27, que caso o semicondutor seja do tipo N e ϕ_s < ϕ_m o contato será retificador, ou seja , ocorre a forma ção de uma barreira de potencial na interface metal-semicondutor, e o contato será ohmico, ausência da barreira, caso ϕ_s > ϕ_m . Se o semicondutor for do tipo P a situação será in vertida.

A presença de estados de superfície no semicondutor, bem como a formação de óxidos podem também conduzir a contatos retificadores, neste caso devem ser procurados polimentos apropriados e metais que sirvam como dopante do semicondutor.

Tomando as considerações teóricas aliadas aos resultados experimentais, listamos 3 regras uteis na escolha de materiais para contatos ohmicos, ref.27.

- l- Escolher um metal tal que $|\phi_{\bf s}|>|\phi_{\bf m}|$ se o semicondutor for do tipo N e $|\phi_{\bf s}|<|\phi_{\bf m}|$ se for do tipo P.
- 2- Escolher um metal que se porte como impureza do mesmo tipo de condutividade que o semicondutor, i.e. doador para o tipo N e aceitador para o tipo P.
- 3- Se o contato ainda não for ohmico apesar das regras (1) e (2) deve-se tentar o polimento mecânico ou químico da superfície ou em alguns casos a passagem de um pulso de

alta corrente pela descarga de um capacitor.

3.3.1 - Contato ohmico no CdS

O zinco é um material que serve como doador em cristais de CdS, e fei o metal utilizado para obtenção de contatos ohmicos no semicondutor. A técnica de deposição utilizada foi eletroquimica e no Apêndice E descrevemos as características do banho utilizado.

Várias são as maneiras de se depositar eletroliticamente um metal em solução sobre um eletrodo, a mais simples consiste na imersão do eletrodo no banho contendo o fon metálico de potencial redox mais alto que o do eletrodo. A equação de Nernst descreve este potencial com uma função logaritma da razão entre as concentrações dos fons oxidante e redutor.

eq. de Nernst :
$$E = E_0 + (cte) \ln (0x/red)$$
 (19)

Normalmente se desejam camadas com deposição uniforme, sem manchas ou poros, e se recorre então a processos i mais sofisticados com controle do pH e da temperatura da solução tanto em condições galvanostáticas (corrente constante) como potenciostáticas (potencial constante).

Os processos que utilizamos neste trabalho para deposição de zinco, indio também da contatos ohmicos com CdS, são industriais ref.28 já que não pretendiamos uma análise do efeito mas tão somente obter camadas reprodutivas que possibilitassem bom contato elétrico.

3.3.2 - Cálculo da espessura do filme depositado

A eletrodeposição de filmes além de ser um processo de muito baixo custo, fácil operação e industrializável em grande escala nos permite também calcular a espessura do filme de uma maneira bastante simples como descrevemos a seguir:

sendo:

A - a área do eletrodo (catodo)

F - constante de $Faraday = 10^5$ Coul/mol

M - peso atômico do metal depositado

p - a densidade do metal (g/cm³)

n - número de elétrons de valência da espécie - depositada

I - corrente utilizada

é possível se relacionar o tempo de deposito 't' com a espessura obtida 'd'. Assim vejamos

sendo V o volume do filme depositado,

m a massa do filme depositado

N o total de moles depositado

e Q a carga que passou no circuito, temos:

 $V = Ad (cm^3)$

m = pV gramas

N = m/M

Q = nNF Coulombs

Q = It = nfpAd/M Coulombs (20)

3.3.3 - A grade coletora sobre o Cu_2S

O contato elétrico na parte superior da junção,

ou seja sobre o Cu₂S, além de coletar os portadores de carga footogeradas deve permitir a entrada da luz, e para obter tais qualidades se utilizam grades de diferentes geometrias.

Nós utilizamos a grade com formato de pente, com espassamento entre os dedos de 100 μm , assim como a espessura - destes. Estas duas características da grade não estão otimisadas, vide Bordeaux, ref.29.

O contato ohmico foi obtido evaporando um filme de ouro, regra 1, de 200 A^{O} , sobre o filme semicondutor, diretamente através de uma máscara aplicada sobre a fotoresina sem a necessidade de confeccionar uma máscara metálica previamente. Isto se deve a baixa resistência mecânica do ouro em camadas finas.

3.4 - As características optoelétricas da junção

Como foi dito anteriormente o objetivo deste - trabalho não foi a fabricação de uma célula do tipo CdS/Cu₂S - competitiva, mas sobretudo o estudo dos parâmetros e dificuldades envolvidos na sua fabricação. Ainda assim realizamos as medidas das características optoelétricas da junção, o que nos - permite tirar algumas conclusões do dispositivo fabricado, apesar do seu baixo rendimento.

Foram feitos dois tipos de medidas na célula - CdS/Cu₂S onde o CdS é produzido por "spray" e o Cu₂S por "dipping", a resposta espectral ou seja a corrente de curto - circuito fornecida, para diferentes energias da radiação, e a característica V x I para luz "branca"simulando o sol.

3.4.1 - Resposta espectral e eficiência quântica do dispositivo

Para medir a resposta espectral, $I_{sc}(hv)$, utilizamos a luz de uma lâmpada de xenonio analisada por um espectrometro, com espectro no visível, P(hv) mostrado na figura - (17). A partir de P(hv) e $I_{sc}(hv)$ foi calculada a eficiência - quântica do dispositivo $\eta_Q(hv)$, que indica quantos elétrons - passam no circuito para cada foton de energia hv incidente ina amostra

$$\eta_{Q}(hv) = \frac{nQ}{nQ} \frac{de}{de} \frac{eletrons}{eletrons} \frac{de}{de} \frac{eletrons}{eletron} \frac{de}{de} \frac{eletrons}{eletron} \frac{de}{de} \frac{eletrons}{eletron} \frac{de}{de} \frac{eletron}{eletron} \frac{de}{d$$

sejam:

I_{sc}(ho), Ampére, a resposta da célula
P (ho), m Watt/cm², o espectro da lâmpada
A, cm², a área útil da célula
e, coulombs, a carga do elétron

assim:

 $\underline{P.A} = \underline{n} \cdot \underline{q} \cdot \underline{q} \cdot \underline{q}$ segundo

I = nº de eletrons que passam no circuito
e segundo

e
$$\eta_{Q} = (I_{x}/e) \times (PA/hn)^{-1}$$
 (21)

A figura (18) mostra a eficiência quântica calculada para duas amostras preparadas conforme passamos a descrever:



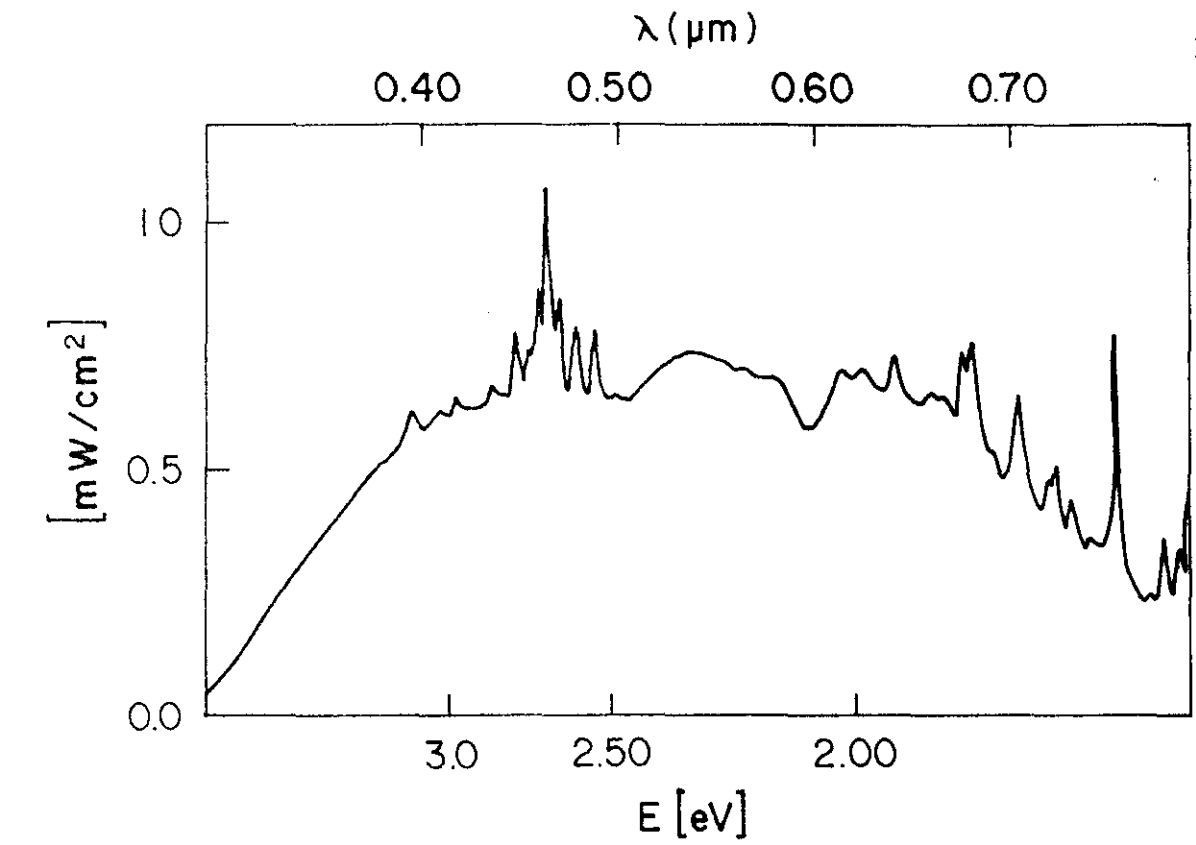


Fig. 17 - Espectro da Lâmpada de Xenonio no visível

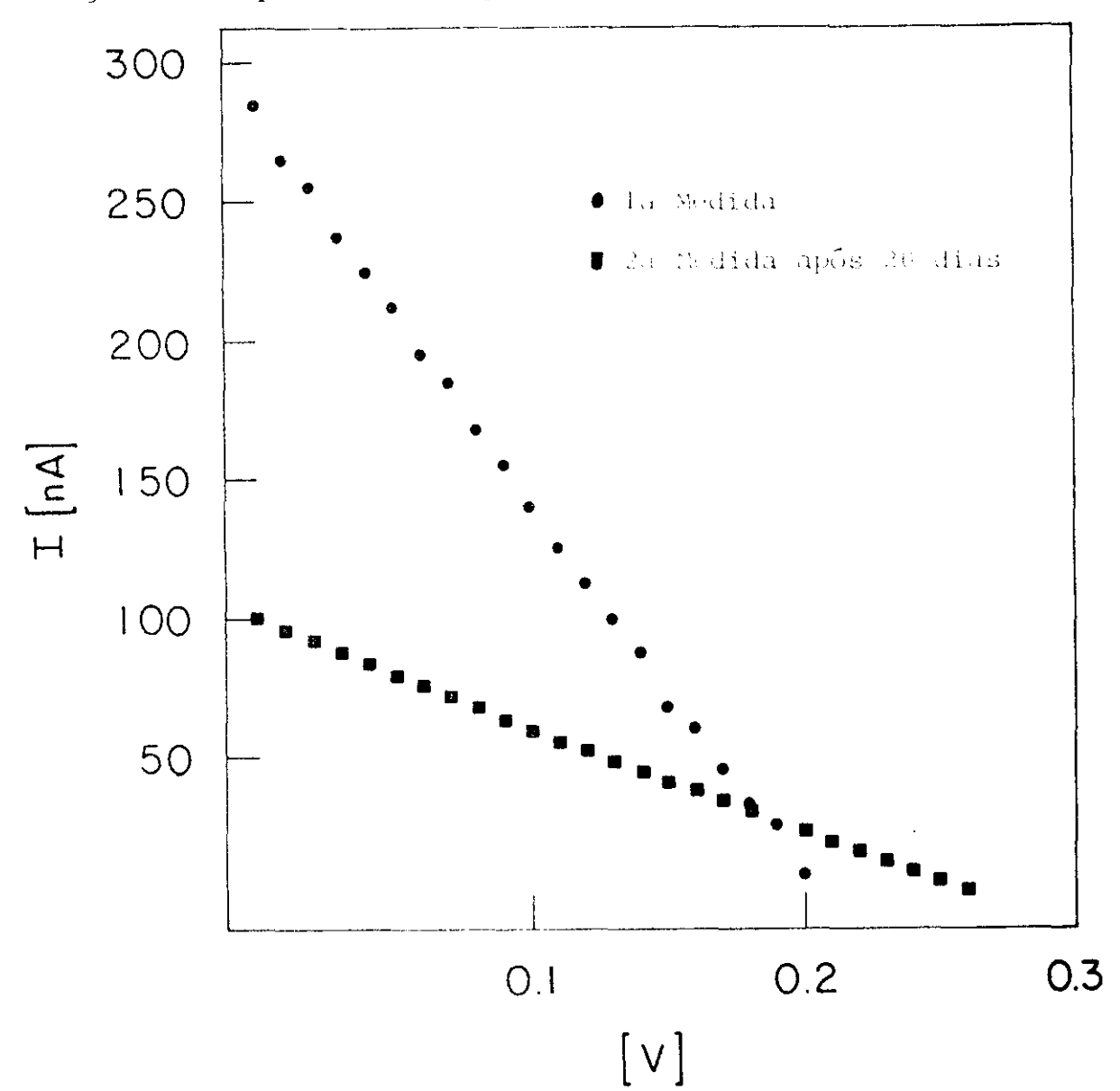


Fig. 20 - Envelhecimento da Junção CdS/Cu_zS Amostra 6

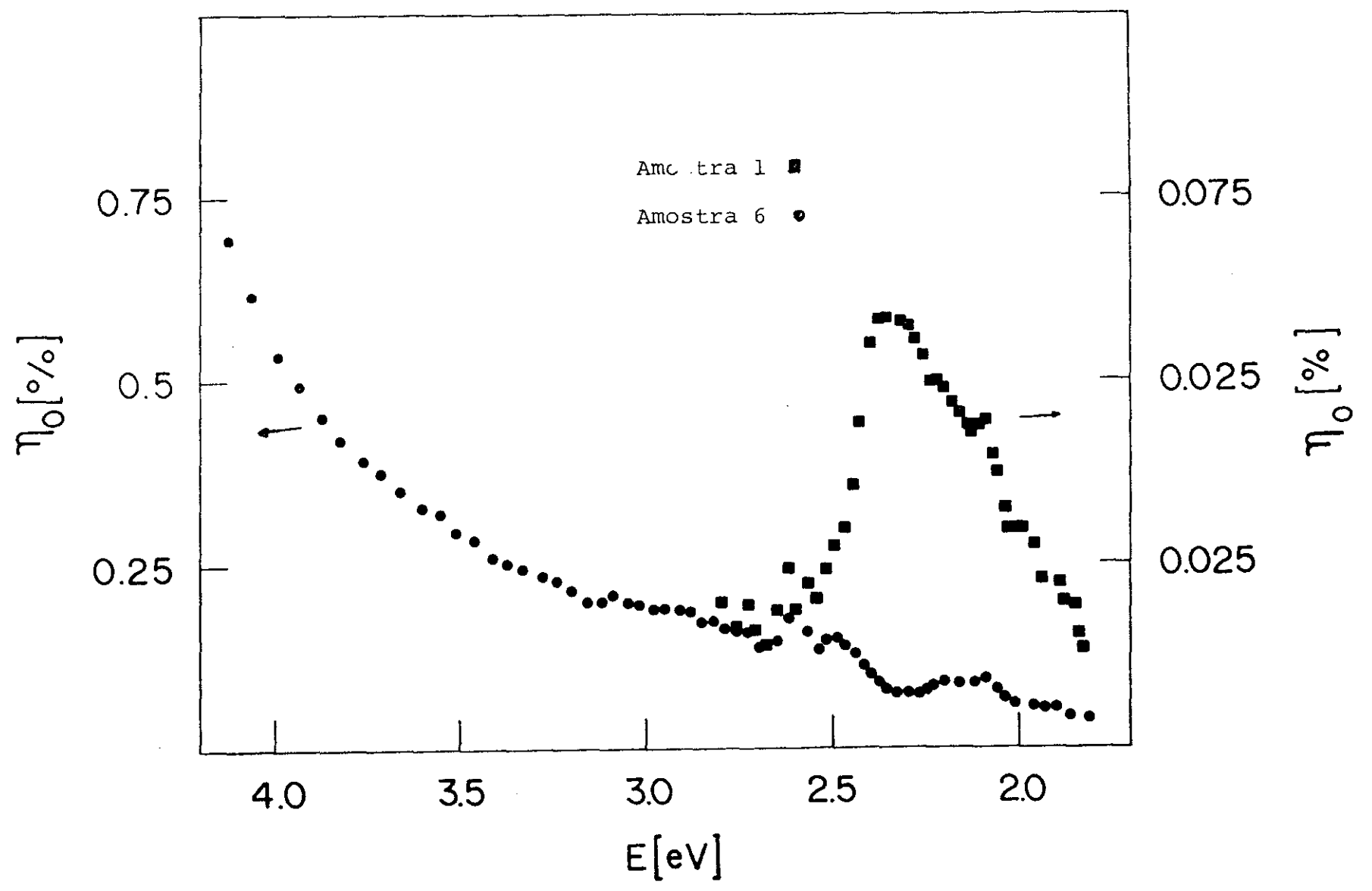


Fig. 18 - Eficiência Quântica de Conversão para duas Heterojunções CdS/Cu $_{\rm z}$ S

amostra 6 - "spray" sobre Cu + Zn, posterior cozimento no ar a 420° C por 2 1/2 horas e "dipping" de CuCl com pH 6.0 por 30 segundos.

amostra 1 - "Spray" sobre Cu + Zn e "dipping" de CuCl com
pH 6.0 por 10 segundos

3.4.2 - A característica V x I

Utilizando as mesmas amostras e uma lâmpada de halogênio, até 3.400°K, medimos a curva característica para diferentes potências de luz incidentes, a figura (19) mostra os resultados para a amostra (6), e também a deterioração da resposta V x I após 20 dias, as figuras (20) e (21) mostram os resultados para as amostras (6) e (1) respectivamente.

Todas as curvas apresentam V x I aproximada - mente rut, aracterística de resistência em série alta, como foi mostrado na equação (15), fig.5.

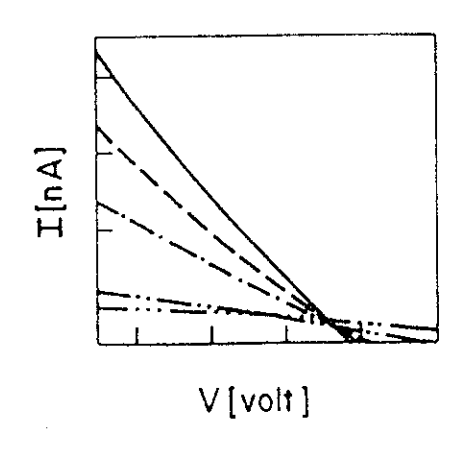


Fig. 19 - Variação da Corrente de Curto-Circuito com a Potência Incidente - Amostra 6

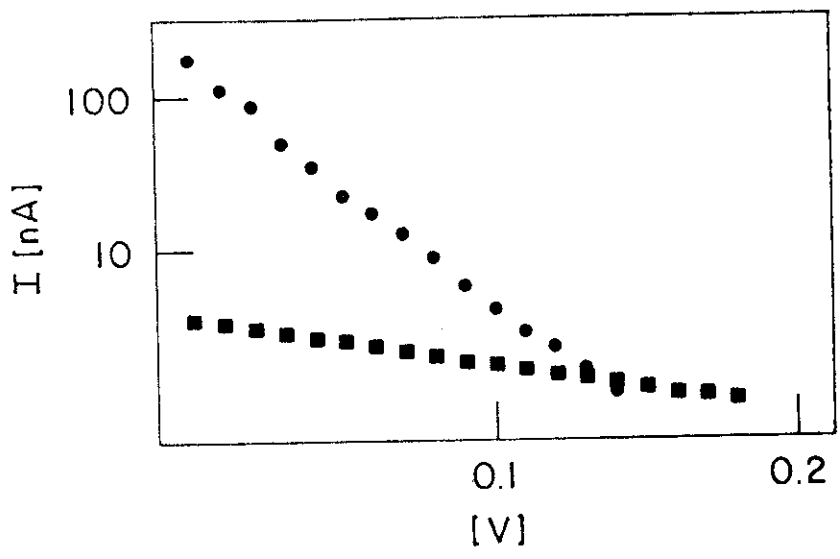


Fig.21 - Envelhecimento da Junção CdS/Cu₂S Amostra 1

la Medida 2a Medida após 20 dias

CAP TULO 4 - CONCLUSÃO

Neste trabalho foram utilizadas a técnica de Jordan, vaporização de uma solução aquosa contendo os ions Cd^{++} e S^{--} para a produção de filmes finos policristalinos de CdS, e a técnica de Clevite, crescimento topotaxial por troca iônica, para a obtenção do Cu_2S sobre o CdS, e formação da junção P/N.

Os filmes foram estudados separadamente quando possível e foi também medida a eficiência de conversão do dispositivo fabricado.

A técnica de Jordan possui dificuldade intrínsecas do método, notadamente quanto ao controle do tamanho da gota de solução, incidente sobre a amostra, e quanto a estabilidade e medida da temperatura na superfície da amostra.

Quanto ao tamanho da gota de solução, caracteristica importante no processo de crescimento do filme, observamos ser necessária a fabricação de um bico ejetor fig. (23) bastante fino, com diâmetro interno de 0,26 mm, utilizar a vazão entre l e 2 ml/minuto e pressão do gás portador em torno de l kg/cm².

Quanto a temperatura na superfície da amostra, observamos inicialmente a dificuldade de estabilizá-la, uma vez que a reação

$$Cd^{++} + S^{--} + CdS + gases$$

é endotérmica (AH = 34 kcal/mole o gás portador frio provoca turbulência próximo a superfície da amostra. Assim para conseguir manter a temperatura estável o substrato deve ser de um metal bom condutor térmico, o com capacidade de térmica alta,

isto é sua massa deve ser alta relativamente a do filme depositado.

A seguir pudemos constatar a dificuldade de se medir com precisão a temperatura na superfície da amostra, uma vez que a pressão aplicada no contato entre o ter mopar e amostra causa variação na medida e o uso de uma amostra padrão tem uma falha intrínseca pois assim medimos a temperatura no substrato e não na superfície do filme.

Dos filmes de CdS produzidos pelo método utilizado pudemos, através de análise de propriedades estruturais, óticas e elétricas, observar que:

- são policristalinos sem orientação preferencial;
- tem a estrutura hexagonal (Greenockite);
- apresentam uma camada de grãos da ordem de micron, e sobre esta grãos maiores da ordem de 100µm;
- apresentam transição eletrônica direta com banda de energias proibidas de 2.37eV;
- formam contato ohmico com zinco.

A utilização da tecnica de Clevite para a obtenção do Cu₂S por sua vez nos permitiu observar a importância do pH da solução e do tempo de imersão do CdS policristalino, no estado final da junção, assim:

- se o pH for em torno de 3 o tempo de imersão deve ser da ordem de segundos, a homogeneidade de penetração do Cu₂S, será comprometida, além de favorecer a formação de curto circuitos através da junção;
- se o pli for em torno de 6 o tempo de imersão é da ordem de dezenas de segundos, e permite a obtenção da ca
 madas homogêneas;

- a solução deve ser cuprosa para a obtenção da estequiometria desejada;
- a solução aquosa de CuCl 0,1M produz Cu_xS onde 1.96 > x > 1.86;
- o composto produzido forma contato ohmico com ouro.

As medidas optoelétricas realizadas na junção por sua vez nos permitiram observar que:

- o dispositivo converte a radiação EM na faixa visível em eletricidade;
- a corrente fornecida pelo dispositivo é proporcional a potência de luz incidente;

Qualidades que mostram a existência do efeito fotovolta<u>i</u> co, no entanto, a célula construida é pouco eficiente para aplicações, como pode ser observado das demais características:

- a eficiência de conversão é bastante baixa;
- a resistência em série $R_{_{
 m S}}$ da célula é alta;
- a voltagem de circuito aberto obtida 0,15V é menor que a esperada 0,5V;
- a corrente de curto circuito obtida $(\mu A/cm^2)$ é muito me nor que a esperada (mA/cm^2) ;
- o dispositivo apresenta envelhecimento quando exposto ao ar:
- a maior parte da corrente elétrica é gerada para ilumina ção com energia próximo ao "gap" do CdS.

Acreditamos que a mal formação da camada de Cu_xS, sua pouca espessura e a alta resistência em série são as características dominantes na baixa eficiência de conversão obtida.

Como tem sido observado a perfeição do filme de sulfeto de Cadmio, CdS, e suas características superficiais são determinantes na qualidade do sulfeto cuproso, Cu₂S, crescido topotaxialmente.

Assim a presença de grãos na superfície do CdS, três ordens de grandeza maiores que a espessura dese jada para o filme de Cu_2S , 0, $\text{l}\mu\text{m}$, pode ser responsável pela formação de filmes descontínuos e inomogênios.

Quanto a espessura do Cu_2S cabe dizer que foi tentado um novo "dipping" nas células e afim de aumentar a espessura, e este provocou a formação de curto-circuitos na junção.

APÊNDICE A

Transições Eletrônicas Próximas a Transição Fundamental

Se a radiação em incidente na amostra for descrita por seu potencial vetor na forma

$$\overrightarrow{A} = Ao \exp i (wt + N.q.r) \hat{a} ou \overrightarrow{A} = Ao (\lambda,z) \hat{a}$$
 (1)

onde w é a frequência da onda

N o indice de refração complexo N = n - ik
q o momento da onda

Pode-se a partir deste definir o vetor de Pointing

$$\vec{S} = \vec{E} \times \vec{H}$$

$$(S) = \frac{1}{2} \checkmark \frac{\varepsilon}{u} \cdot Eo^{2}$$

Utilizando-se a equação de continuidade da energia do campo E.M. temos que

$$\Delta U = -\vec{\nabla} \cdot \vec{S} \tag{3}$$

que traduz a energia consumida em uma distância dz de penetração.

Efetuando observa-se que

$$\Delta U = \frac{\alpha n \omega^2 \pi}{2c} | Ao (\lambda, z) |^2$$
 (4)

Por outro lado suponha-se que:

P - é a probalidade de que sob influência da radia ção incidente um elétrom faça a transição de um estado inicial a outro excitado, ou a densidade de transições por unidade de volume, unidade de tempo

Assim temos que

$$\Delta U = phv \tag{5}$$

e

$$\alpha h v = \frac{2\pi h^2 c}{n |\Lambda o|^2} P$$
 (6)

Esta equação relaciona então o coeficiente de absorção α com a probabilidade de transição, a energia da radiação incidente e constantes do material. Nota-se que jã é implicito antes de considerarmos o esquema de bandas do material a dependência inversa com a energia do foton, hu.

O fator "P" é que carrega a informação quanto a forma d. s ba das do material, e o tipo de interação que os portadores sofrerão.

A probabilidade de ocorrer a transição por sua vez é dependente das densidades de estados no nível inicial e no nível final, uma δ de Dirac que exprima o fato de somente serem permitidas transições tal que Ef - Ei = hu, e o quadrado do elemento de matriz das funções de onda inicial e final.

Assim temos:

$$P_{if} (hv) = \frac{2\pi}{3} \left| \langle \Psi f | H | \Psi i \rangle \right|^{2} \rho_{hv} \delta (Ef-Ei-hv)$$
 (7)

fazendo Ef - Ei = Em

e a soma sobre todos os possíveis estados iniciais e finais temos (ref.32)

$$(\alpha h \upsilon) = \frac{4\pi^2 h c}{n} \sum_{m} \left\{ \frac{|\text{Ilmo}|^2}{|\Delta o^2|} \rho_m(k) \right\} \delta(h \upsilon - Em)$$
 (8)

A investigação da forma do elemento de matriz nos levará a compreenção melhor das diferentes transições possíveis, juntamente com a densidade de estados $\rho_{\rm m}$, vejamos então o elemento de matriz.

Se não supomos qualquer interação como espalhamento por fonons ou impureza, ou interação Coulombiana entre o par fotogerado temos:

$$H_{if} = \begin{cases} \psi_{f}^{\star} \mid \underline{e} & \overrightarrow{A} \cdot \overrightarrow{p} \mid \psi_{i} \quad d^{3}r \\ \text{crisual} \end{cases}$$
 (09)

onde em um sistema de N'elétrons em um cristal inicialmente com todos na banda de valência, com momento kh temos:

$$\psi_{i} = \frac{1}{\sqrt{N!}}$$

$$\psi_{1} (r_{1}) \dots \psi_{vkh} (r_{1}) \dots \psi_{N} (r_{1})$$

$$\psi_{1} (r_{n}) \dots \psi_{vkh} (r_{n}) \dots \psi_{N} (r_{n})$$

$$(10)$$

é a função de onda do estado fundamental do sistema:
e quando l eletron é promovido a B.C. forma-se um estudo excita
do cuja função de onda do sistema é:

$$\phi_{\text{kekh}} = \frac{1}{\sqrt{N!}}$$

$$\psi_{1}(r_{1}) \dots \psi_{\text{cke}} \dots \psi_{N}(r_{1})$$

$$\psi_{1}(r_{n}) \dots \psi_{\text{cke}} \dots \psi_{N}(r_{n})$$

$$(11)$$

$$\psi_{f} = \sum_{kekh} Cn (ke, kh) \psi_{ke kh}$$
 (12)

onde á feita a soma sobre todos os momentos iniciais e finais.

As funções de onda ψ_{nk} podem ser escritas como funções de Block $\psi_{nk}=u_{nk}$ exp i \vec{k} , \vec{r}

utilizando-se isto em (12), (11) e (10) e efetuando (09) vem que: (Ref. 31)

$$H_{on} = Ao \sum_{kekh} C_n \text{ (ke,kh)} H_{cv} \text{ (ke, kh)}$$

onde (13)

$$H_{cv} (ke, kh) = \int d^3r \, u^*_{cke} \left(\frac{e}{mc} \, \hat{a}.\hat{p} \right) \, u_{vkh} \, \delta(ke+kh)$$

caso se suponha que H_{CV}(k) varia muito pouco em torno do valor de k correspondente ao mínimo de separação entre as bandas, ko, o elemento de matriz permite a expansão de Taylor abaixo

$$H_{CV}(k) = H_{CV}(k0) + (\vec{k} - \vec{k}0) \cdot \vec{\nabla}_{k} H_{CV}(k)$$
 | $k=k0 + \dots$ (14)

ou seja

(15)
$$H_{\text{on}} \stackrel{\sim}{=} A_{\text{o}} H_{\text{cv}}$$
 (ko) $\delta k = \sum_{k} C(k) + A_{\text{o}} \overrightarrow{\nabla}_{k} H_{\text{cv}}(k) \Big|_{k=k_{\text{o}}} \delta(k) \sum_{k} C(k) (\overrightarrow{k})$

caso H_{CV} (ko) seja diferente de zero ou seja a transição não é proibida pela simetria do cristal podemos despresar os demais termos da expansão, caso contrário H_{CV} (ko) = 0 o termo seguinte será de maior relevancia.

Subastituindo em (08) temos:

caso a transição em ko seja permitida

$$\left| \alpha h \mathbf{v} \right| = \sum_{\mathbf{m}} \frac{4 \pi^2 h \mathbf{c}}{\eta} \left| H_{\mathbf{C} \mathbf{V}}(\mathbf{k}_0) \right|^2 = \sum_{\mathbf{k}} \left| C(\mathbf{k}) \right|^2 \delta(\mathbf{k}) \, \rho \mathbf{m} \, \delta(\mathbf{h} \mathbf{v} - \mathbf{E} \mathbf{m})$$
(16)

caso seja proibida

$$|\alpha_{hv}| = \sum_{m} \frac{4\pi^{2} hc}{\pi} |\frac{3}{3k} H_{CV}(k)| |\frac{2}{ko} \Sigma |C(k)|^{2} (\vec{k} - \vec{k}o)^{2} \delta k \rho m \delta (hv-Em)$$

$$(17)$$

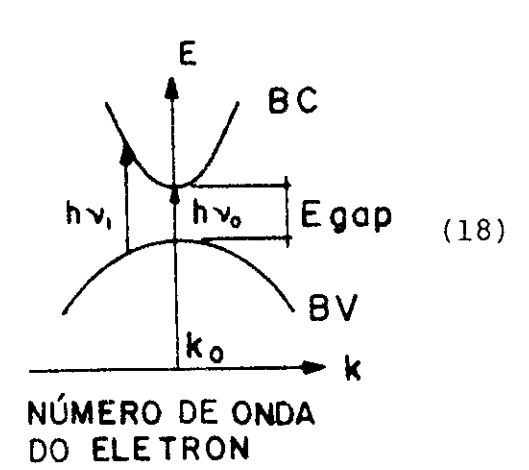
Note-se que independentemente da densidade de estados pm , se supomos que as bandas são parabolicas proxima a transição fundamental, a transição proibida terá um fator $(k-ko)^2$, ou seja proporcional a $E = \frac{h^2(k-ko)^2}{2m}$ a mais que a transição permitida.

Verificamos agora como se comporta a densidade de estados inicial e final para o caso em que a transição é indireta, ou seja há interação com fonons e o caso em que tal não acontece, transição direta, supondo que as bandas são para bólicas

TRANSIÇÕES DIRETAS

$$_{Ev}=\frac{\hbar ^{2}k^{2}}{^{2m}h}$$

$$Ec = Eg + \frac{\hbar^2 k^2}{2m_e}$$



onde m_{e} e m_{h} são as massas reduzidas do eletron e do buraco respectivamente.

se definimos
$$\vec{r} = \frac{1}{2} (\vec{r}e - \vec{r}h)$$
 (19)

 $\mu = \frac{me - mh}{me + mh}$ a massa reduzida dos eletrons e buracos

temos:

$$\frac{p^2}{2u} \quad \phi_m = (E_m - E_g) \quad \phi_m \tag{20}$$

a absorção ocorre para
$$E_{m} = hv = E_{g} + \frac{h^{2}km^{2}}{2\mu}$$
 (21)

a densidade final do estados e dada por

$$\rho_{\rm m} = \frac{1}{2\pi^2} (2_{\rm H}/h^2)^{3/2} \quad (hv - E_{\rm g})^{1/2}$$
 (22)

substituindo-se em (16) e (17) temos que:

$$(\alpha h \upsilon) = B(h \upsilon - E_g)^{1/2}$$
 para transições diretas permitidas no mínimo de separação das bandas (23)

$$(\alpha h \upsilon) = B(h \upsilon - E_g)^{3/2}$$
 para transições diretas tais (24) que a transição em k = k $_{0}$ é proibida

TRANSIÇÕES INDIRETAS

Caso sejam tomadas algumas precauções com o ele mento de matriz, que neste caso devem forçosamente levarem con sideração os detalhes da interação com fonons, as transições indiretas manterão uma dependência de α hu com (hu - Egap) do tipo descrita em (16) e (17) ref. 31.

Neste caso a densidade de estados final $\rho(h\nu)$ é é dada por: TRANSIÇÃO INDIRETA

$$\rho (h) = \int\limits_0^\infty dEc \int\limits_0^\infty \rho c \ \rho v \ \delta (Ec-Ev-h u) \ dE$$

$$\rho(h) = \int_{Q} \rho c \rho v dEc$$

e com a suposição de bandas parab<u>ó</u>licas temos analogamente ao caso
anterior

$$\rho c = 1/2\pi^{2} (2m_{e}/h^{3})^{3/2} Ec^{1/2}$$

$$\rho v = 1/2\pi^{2} (2m_{h}/h^{3})^{3/2} Ev^{1/2}$$
(27)

fazendo a integração obtemos:

$$\rho (h \upsilon) = 1/4\pi^{\frac{4}{3}} (2/h^{2})^{\frac{3}{3}} (m_{e} m_{h})^{\frac{3}{2}} \pi/4 (h\upsilon - E_{g})^{2}$$
 (28)

ou seja

$$(\alpha h \upsilon) = C (h \upsilon - E_g)^2$$
 (29)

para transições indiretas permitidas as em $k = k_0$.

$$(\alpha h \upsilon) = C (h \upsilon - E_g)^3$$
 (30)

para transições indiretas proibidas em k = k

APÊNDICE B

Vaporização, a Técnica de Jordan

A técnica proposta por Jordan para a produção de filmes policristalinos de CdS através da reação (fig.22).

$$Cd^{++} + S^{--} \xrightarrow{\Delta} CdS + gases$$

tem algumas dificuldades inerentes ao processo: como a reação é endotécnica (ΔH = 34 kcal/mol) e o gás portador é frio, tor na-se muito difícil manter estável a temperatura do substrato, além disto o próprio processo de vaporização provoca uma dis distribuição inomogênea de gotículas, o que dificulta a produção de mais de uma amostra por vez.

Foram testadas neste trabalho 3 técnicas diversas para a produção dos filmes cada qual com suas vantagens e disvantagens, no que concerne aos pontos expostos acima o que analizamos a seguir.

la. Técnica - Nossa primeira tentativa foi com pistolas comerciais de pinturas, esta técnica que envolvia o manuseio pessoal do equipamento, no que se refere ao controle a temperatura do substrato é bastante precisa, porém expõe o operador a toxidade do experimento, e também não permite a produção de mais de uma amostra por vez o que por sua vez reduz a probabilidade de amostras preparadas da mesma maneira.

2a. Técnica - Utilizamos uma montagem similar a utilizada por Perontin e tal (ref.21), ou seja, um bico ejetor girante sobre um suporte com várias amostras, esta técnica en quanto nos primite a feitura de várias amostras simultaneamente, e que recebem igual fluxo de líquido, tem o inconveniente de

não manter constante a temperatura das amostras, além de envolver um mecanismo cinemático bastante complexo e sujeito a falhas, sobretudo em um sistema experimental. Cabe dizer que das três técnicas tentadas esta seria sem dúvida a melhor, e mais própria para trabalhos de pesquisa, uma vez que produz amos tras preparadas de maneira idêntica que podem então servir para várias experiências a fim de se caracterizar a qualidade das amostras produzidas. É um sistema bem proximo da automação des crita por JORDAN, Tolouse, 1977, e apropriado para a indústria.

3a.Técnica - O terceiro sistema que montamos envol ve características das anteriores, neste obtemos bom controle de temperatura controlando a vasão do líquido e a potência cedida ao suporte, sem contato direto do operador, ao mesmo tempo que conseguimos produzir mais de uma amostra no mesmo experimen to, ainda que em número menor que no sistema rotativo: Foi neste sistema que produzimos as amostras que completaram o ciclo total até a obtenção do efeito fotovoltaico e nele deteremos para explicação dos vários componentes, cabe dizer que o bico eje tor, a vasão de líquido e o suporte de amostras são os mesmos que utilizamos no 29 processo, as amostras provenientes deste só não concluiram com sucesso todo o processo devido a um equí voco na escolha da solução de "dipping" explicado no decorrer desta monografia.

Vasão de Solução - O controle da vasão da solução é feito com um kit de soro comercial, em gotas por minuto, a estimativa é feita sabendo se o volume inicial de solução e mo nitorando se o tempo que leva para vaporizar. Utilizamos a va são entre l e 2 ml/minuto e o tempo de depósito em torno de 120 minutos.

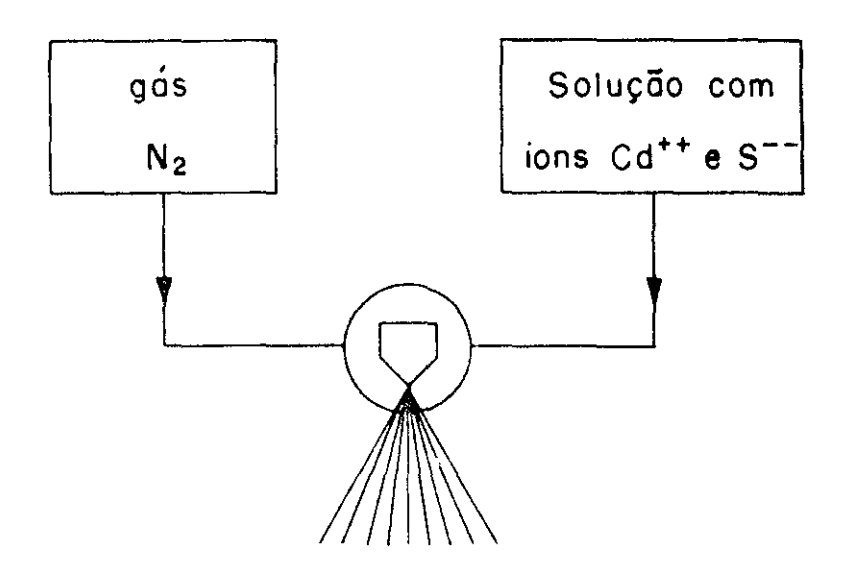
O bico ejetor - Esta parte do equipamento foi to-

talmente fabricada por nos uma vez que não existiam no mercado bicos para "spray" com as dimensões desejadas.

A figura 23 mostra os detalhes do modelo utiliza do, construido utilizando duas agulhas hipodermicas interpenetrantes, 25/10 e 25/5, o resultado final foi um bico com diâ metro interno de 0,26mm e que produz um jato fino de abertura de 179. A peça metálica é de latão e o sistema é ajustável tanto na abertura do feixe como na posição relativa entre as agulhas o que controla também o tamanho da gotícula.

Suporte de amostras e controle de temperaturas Utilizamos um suporte de aço inox de diâmetro 16cm, sobre qual eram postas as amostras de cobre onde seria feito o depó sito e uma amostra padrão de temperatura. O aquecimento chapa é obtido por uma resistência que cede 600 Watts, com cor rente em torno de 5 Amp., capaz de manter a temperatura em tor no de 300°C durante o processo. A uniformidade de temperatura da chapa é um dos pontos críticos da montagem, e uma série alternativas podem ser utilizadas, a mais eficiente foi o isolamento térmico das extremidades com la de vidro, mesmo assim o controle fino de temperatura das amostras durante o processo de "spray"em nosso caso não foi melhor que ± 5°C nos melhores casos, acreditamos tratar se de uma dificuldade intrinseca do processo devido a problemas de turbulência e contato do ter mopar, cromel - alumel com a superficie das amostras.

Substrato - Os substratos utilizados para a deposição do spray foram ora cobre zincado, ora lâminas de microscópio, para medidas na celula e transmissão ótica respectivamente.



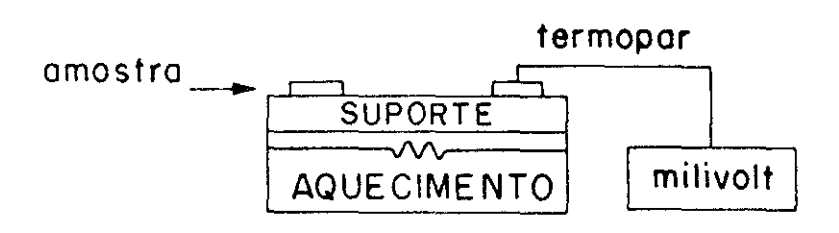


Fig. 22 - Esquema da Montagem para Produção CdS
Policristalino por Vaporização

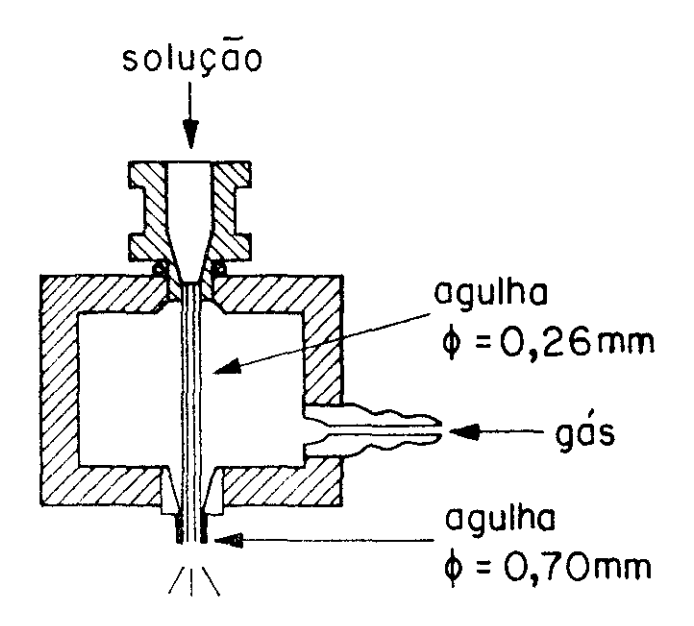


Fig. 23 - Detalhe do Bico Efetor Utilizado no Proces so de Vaporização

APÊNDICE C

A Evaporadora

A evaporadora utilizada neste trabalho foi total mente construida em nosso grupo. A fotografia anexa, fig.(24), mostra seu aspecto externo, e a seguir passamos a descrição - dos componentes.

Trata-se de uma evaporadora de filamento, adpata da para evaporação em atmosfera controlada, M.A. Fantini ref (32), e a vácuo até 10⁻⁵ torr, acoplada ao sistema de vácuo 'descrito no apêndice F.

A campandula é de Pyrex, com raio de 135 mm e ve dada no contato com a base através de um anel de borracha / "oring".

A base de aço inox é provida de uma série de en tradas, cujas funções descrevemos:

- entrada para gas
- medidor de baixo vácuo (0-20 torr) Speedivack tipo CG3
- medidor de médio vácuo ($2 \text{ a } 10^{-3} \text{torr}$) variam TC 0531
- medidor de alto vácuo, Penning 8, Edwards
- eletrodos (até 150 Amp) Edwards Mod 6 D max 10KV (DC)
- saida para sistema de vácuo.

O esquema elétrico foi planejado para correntes da ordem de 50 Amp, necessárias para evaporar materiais de alto ponto de fusão. É utilizado um variac de 1,6 kw cuja corren

te máxima permitida é 12 Amp, acoplada a um transformador 1/5, conforme mostrado na figura (25)

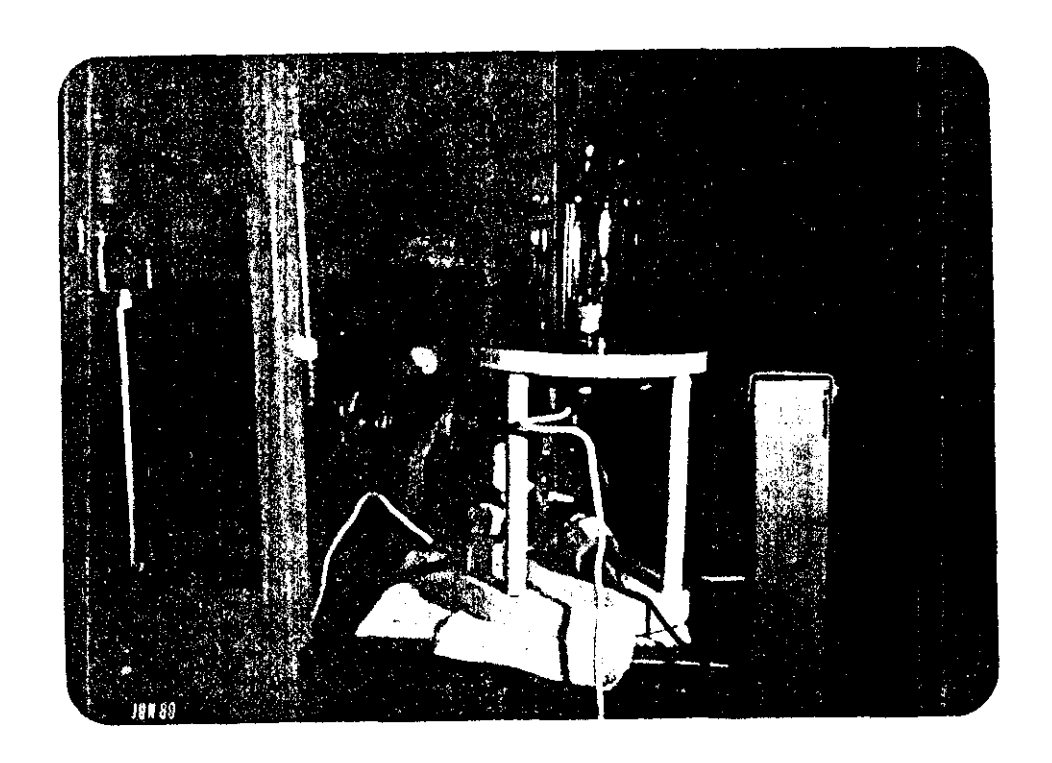


Fig. 24 - Aspecto Externo da Evaporadora Construída e Utilizada

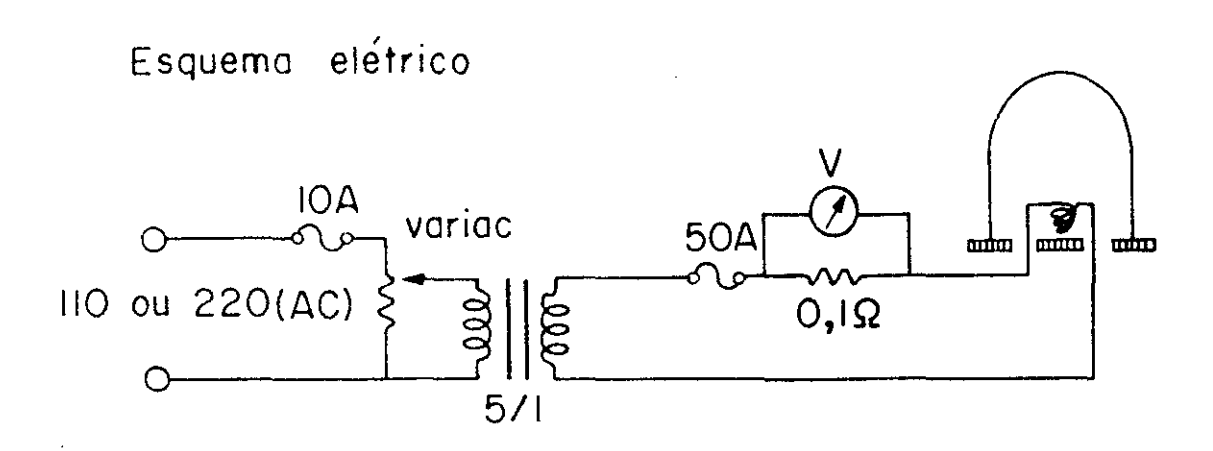


Fig. 25 - Esquema Elétrico Planejado para Evaporação de Materiais com Altoponto de Fusão

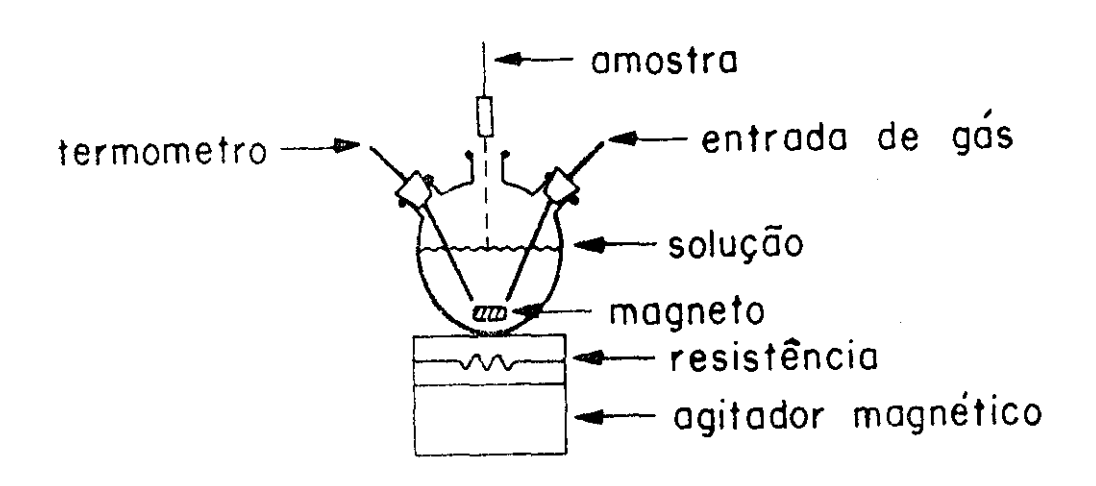
APÊNDICE D

Montagem para crescimento do Cu₂S pela técnica de Clevite"dipping"

Os requisitos de montagem utilizada para o proces so de "dipping" estão ligados a temperatura da solução, homogenidade e qualidade do $\mathrm{Cu}_2\mathrm{S}$.

A solução utilizada foi de CuCl, 0,1M e pH= 6.0, o tempo de imersão de 10 a 30 segundos, e a montagem feita para a experiência inclui, como mostrado na fig (26):

- um becke; de Wilson com 3 bocas e capacidade para até 500 ml
- um termômetro de coluna de Mercúrio
- um borbulhador de Argônio, para retirar o oxigênio da solução e dificultar a formação do óxido de cobre.
- um agitador magnético comercial, para esquentar a solução até a temperatura de operação, 90°C,e homogenizar a reação na superfície do CdS



(Figura 26) - Montagem para crescimento de Cu₂S pela Técnica de Clevite

APÊNDICE E

Eletrodeposição de zinco

A montagem utilizada para a eletrodeposição de filmes de zinco sobre CdS, foi adaptada a partir da utilizada 'por J.R. Moro, ref (23), e tem sido útil para feitura de contatos ohmicos (homogêneos e aderentes) com diferentes geometrias, pontuais, estrias e pentes.

A montagem é constituida de uma fonte de corrente para correntes de (mAmp e Amp); uma cuba de vidro onde fica a solução um contra eletrodo (anodo) de zinco comercial e um agitador magnético que serve para homogenizar o depósito.

As características tecnicas da experiência são as seguintes:

| bunho | o elet | trolític | o ref(28) |
|-----------|--------|----------|-----------|
| | | | |

| 300 g/l | Sulfato de zinco | $Zn SO_4 + 7H_2O p$ | uresa 99.1% |
|---------|---------------------|--------------------------------|-------------|
| 15 g/l | Cloreto de sódio | NaCl | " 99.5% |
| 30 g/l | Cloreto de Aluminio | $AlCl_3 + 6H_2O$ | " 99.5% |
| 15 g/l | Acido Borico | H ₃ BO ₃ | " 99.8% |

- densidade de corrente 80mA/cm²
- tempo de depósito, de l a 2 minutos
- temperatura 20 a 25 C
- pH da solução 3,8 a 4,6

Com estas características é possível obter conforme desejado, com pouca sofisticação tecnológica e com baixo cus to, camadas uniformes, reprodutivas e de espessura controlada:

Em nosso caso produzimos, filmes de espessura em torno de 30 µm

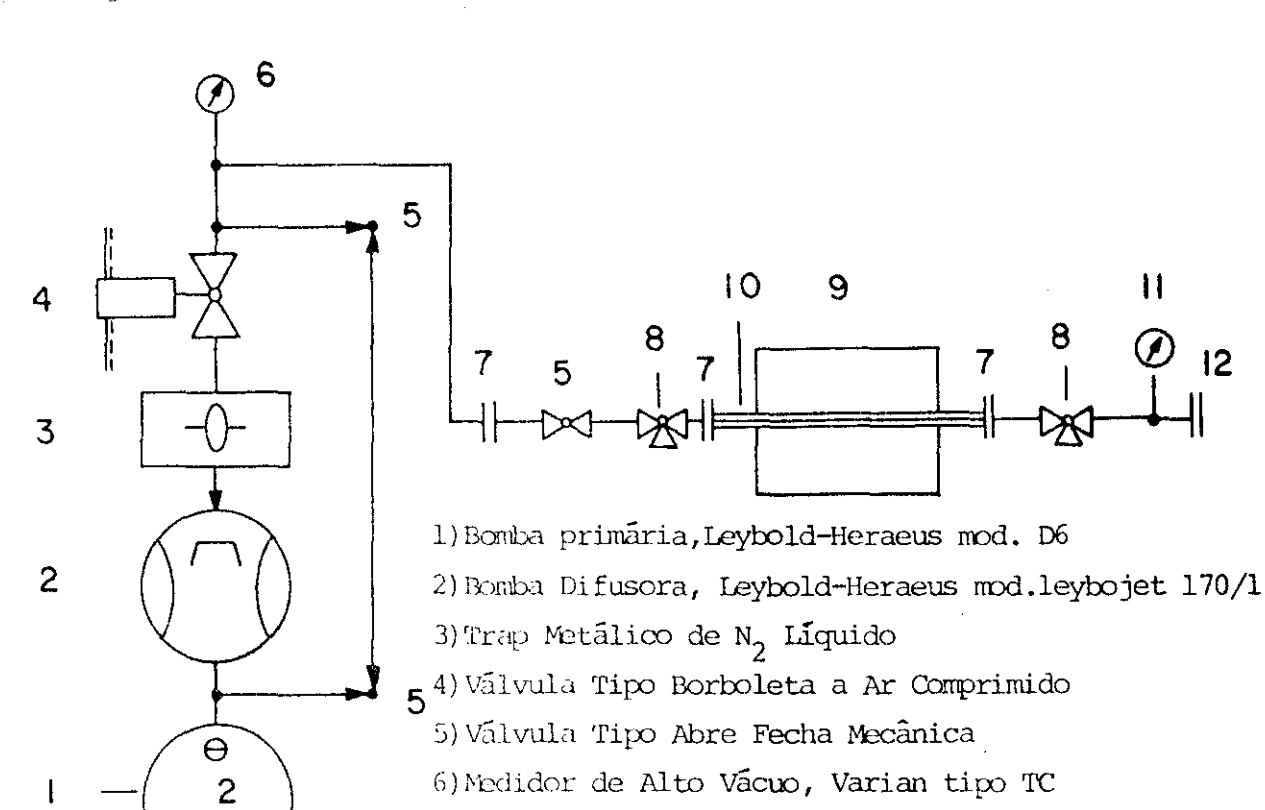
APÊNDICE F

Sistema de tratamentos Termiais com atmosfera controlada

A rantagem utilizada no crescimento de monocristais, e tratamentos térmicos é constituida de um forno tubular que atinge até 1150°C e um sistema de vácuo capaz de produzir no interior de um tubo de quartzo pressões até 10⁻⁵torr.

O forno Marshall, com potências máxima 1.6 kw, foi adaptado sobre um carrinho e um trilho afim de facilitar sua movimentação ao longo do tubo de quartzo. As conexões deste com o sistema de vácuo e entradas de gas são mostradas juntamente com os componentes da bomba de vácuo na fig (27)

Fig. 27 - Sistema de vácuo e tratamentos térmicos



7) Conexão com Flange

10) Tubo de Quartzo 1 pol-

9) Formo Circular, Marshall mod.1143, 1.6kW, Tmax 1150

11) Medidor de Vácuo Penning 8, Edwards

8) Válvula Agulha para Gás, Ianes

12) Conexão com Flange e Entrada para Termopar

REFERÊNCIAS

- (01) D.C. Reynolds et al Phys, Rev. 96, 533, (1954)
- (02) J.F. Jordan 11th Photovoltaic specialists Conference (1975)
- (03) S.M.SZE, Physics of Semiconductors Devices, J. Wiley (1969)
- (04) W.Schockley Electrons and Holes in Semiconductors ed Robert e Krieger N. York (1976)
- (05) W.D. Gill e R.H. Bube J. Appl. Phys. 41,3731, (1970)
- (06) G. Bordure et al Solar Energy Mat. 2,229, (1979)
- (07) F.A. Shirland Adv. En. Conv. 6,201, (1962)
- (08) N.G- Dehre Thin Solid Films 60,257, (1979)
- (09) M. Savelli e J. Bougnot in Topics in Applied Physics vol 31 ed Springer-Verlag (1979)
- (10) R. Sato, H.Ito, S. Mamashita Japan J. Appl: Phys 3,626, (1964)
- (11) Hansen Constituition of Binary Allois pg 437
- (12) S.J. Czyzak, Craig, Mc Cain e Reynolds J. Appl. Phys 23, 932, (1952)
- (13) L.C. Greene e D.C. Reynolds Jour. Chem Phys. vol 29 nº 6 1375 (1958)

- (14) N.K. Abrikosof Semiconducting II-VI, IV-VI e V-VI compounds ed Soviet Physics
- (15) J. Greene 1º Oficina Brasileira de Microeletronica, UNICAMP S.P. (1979)
- (16) J.J. Oakes, I.G. Greenfield e L.D. Partain 11th Photovoltaic Specialists Conference N. York (1975)
- (17) J.F. Jordan Cont. Conf. on Solar Electricity Tolouse
 France 1976
- (18) N.G. Dehre Comunicação pessoal
- (19) W. Weith e A. Dajon Comptes Redus 230,947, (1950)
- (20) J. Vedel e E. Castel International Conference on Solar

 Electricity Tolouse France (1976)
- (21) J. Marucchi, M. Perontin, Oudecoumar, J. Bougnot e M.

 Savelli 13 th IEEE Photovoltaic Specialists Conference

 Washington DC 1978
- (22) L.B. Valdes Proc of the IRE 42/1, 420, (1954)
- (23) W.M. Latimor e J.H. Hildebrand Reference Book of Inorganic Chemistry Ed Macmillan 1965
- (24) T.S. Velde En Conv. 14, no 3/4, 111, (1975)

- (25) J.J. Loffersky International Conference on Solar Electricity Tolouse France 1976
- (26) T.S. Velde e J. Dieleman Philips Res. Resp. 28, 573, (1973)
- (27) R.H. Bube Photoconductivity of Solids Ed J. Wiley (1960)
- (28) Trad. A.P. Foldes Galvanotecnica Prática vol. 1 Ed USP Poligono (1970)
- (29) A.C. Bordeaux Tese de Mestrado UNICAMP (1977)
- (30) Barnett et al IEEE Trans. on Elect. Dev.ED 25 vol3,377,
 (1978)
- (31) E.J. Johnson in Semiconductors and Semimetals vol 3

 Ed Academic Press N. York (1967)
- (32) M. A. Fantini, Tese de Mestrado UNICAMP (1980) IFGW
- (33) J.R. Moro, Tese de Mostrado UNICAMP (1979) IFGW